



Gutachten zur Standorteignung von Windenergieanlagen
nach DIBt 2012 für den Windpark Borne-Mitte

Deutschland

Bericht-Nr.: I17-SE-2021-115 Rev.02



Gutachten zur Standorteignung von WEA nach DIBt 2012 für den
Windpark Borne-Mitte

Bericht-Nr.: I17-SE-2021-115 Rev.02

Auftraggeber: mdp GmbH & Co. WEA Borne-Ost KG
Stau 91
D-26122 Oldenburg

Auftragnehmer: I17-Wind GmbH & Co. KG
Am Westersielzug 11
25840 Friedrichstadt
Tel.: 04881 – 936 498 – 0
Fax.: 04881 – 936 498 – 19
E-Mail: mail@i17-wind.de
Internet: www.i17-wind.de

Datum: 14. Januar 2022

Haftungsausschluss und Urheberrecht

Das vorliegende Gutachten wurde unabhängig, unparteiisch und nach bestem Wissen und Gewissen nach derzeitigem Stand der Technik erstellt. Für vom Auftraggeber und vom Anlagenhersteller bereitgestellte Daten, die nicht von der I17-Wind GmbH & Co. KG erhoben oder ermittelt wurden, kann keine Gewähr für deren Korrektheit übernommen werden. Diese werden als richtig vorausgesetzt.

Urheber des vorliegenden Gutachtens zur Standorteignung von WEA nach DIBt 2012 ist die I17-Wind GmbH & Co. KG. Der Auftraggeber erhält nach § 31 Urheberrechtsgesetz das einfache Nutzungsrecht, welches nur durch Zustimmung des Urhebers übertragen werden kann. Eine Bereitstellung zum uneingeschränkten Download in elektronischen Medien ist ohne gesonderte Zustimmung des Urhebers nicht gestattet.

Akkreditierung

Die I17-Wind GmbH & Co. KG ist nach DIN EN ISO/IEC 17025:2018 durch die Deutsche Akkreditierungsstelle GmbH (DAKKS) für die Bereiche „Erstellen von Schallimmissionsprognosen für Windenergieanlagen; Erstellen von Schattenwurfimmissionsprognosen für Windenergieanlagen; Prüfung der Standorteignung von Windenergieanlagen mittels Berechnung (Turbulenzgutachten)“ akkreditiert. Die Registriernummer der Urkunde lautet D-PL-21268-01-00. Diese kann angefragt, oder in der Datenbank der akkreditierten Stellen der DAKKS eingesehen werden.

Die I17-Wind GmbH & Co. KG ist Mitglied im Sachverständigenbeirat des Bundesverbandes WindEnergie (BWE) e.V.

Anmerkung zu Typenprüfung und Anlagenparametern der WEA

Wenn zum Zeitpunkt der Gutachtenerstellung die Typenprüfung oder Einzelprüfung für die geplanten WEA noch nicht vorlag, wurde der Vergleich auf Basis vom Hersteller übermittelter Auslegungswerte der geplanten WEA durchgeführt. Es besteht die Möglichkeit, dass die im Genehmigungsverfahren eingereichten Dokumente bezüglich der Auslegungswerte der betrachteten WEA nicht mit den im vorliegenden Gutachten zitierten Dokumenten übereinstimmen. Die zitierten Dokumente entsprechen dem aktuellen Stand zum Zeitpunkt der Gutachtenerstellung. Bei abweichenden Dokumenten behält das vorliegende Gutachten dennoch seine Gültigkeit, wenn die im Gutachten berücksichtigten Auslegungswerte durch die im Rahmen des Genehmigungsverfahrens eingereichten Auslegungswerte abgedeckt sind. Im Folgenden ist der Begriff Einzelprüfung stets durch den Begriff Typenprüfung mit abgedeckt, auch wenn dies nicht explizit erwähnt wird.

Änderungen der berücksichtigten Anlagenparameter wie c_t -Kurve und Schnelllaufzahl λ sind dem Anlagenhersteller vorbehalten und bedürfen einer neuen Berechnung und Bewertung. Bei einer Änderung der Anlagenparameter gegenüber dem Stand zum Zeitpunkt der Gutachtenerstellung verliert das vorliegende Gutachten seine Gültigkeit.

| Revisionsnummer | Datum | Änderung | Verfasser |
|-----------------|------------|---|-----------|
| 0 | 29.03.2021 | Erste Ausgabe | Pauls |
| 1 | 08.06.2021 | Änderung der Nennleistung der neu geplanten WEA | Lenz |
| 2 | 14.01.2022 | Änderung der Windparkkonfiguration | Pauls |

Verfasser:

B. Eng. Heiko Pauls, Sachverständiger
Friedrichstadt, 14.01.2022

**Geprüft:**

M. Eng. Inga Ziemer
Friedrichstadt, 14.01.2022

**Freigegeben:**

M. Sc. Guido Köhler, Sachverständiger
Friedrichstadt, 14.01.2022



Dieses Dokument wurde digital signiert und die Integrität des Dokuments wurde überprüft. Das zugehörige Zertifikat kann von der I17-Wind GmbH & Co. KG auf Anfrage gerne zur Verfügung gestellt werden.

Inhaltsverzeichnis

| | | |
|-------|--|----|
| 1 | Vorbemerkung..... | 7 |
| 1.1 | Allgemeines | 7 |
| 1.2 | Geführte Nachweise..... | 7 |
| 1.2.1 | Nachweis der Standorteignung an topografisch nicht komplexen Standorten durch Vergleich der Windbedingungen..... | 8 |
| 1.2.2 | Nachweis der Standorteignung an topografisch komplexen Standorten durch Vergleich der Windbedingungen..... | 8 |
| 1.2.3 | Verfahren bei Überschreitungen – Nachweis durch Vergleich der Lasten | 9 |
| 1.3 | Hinweise zu den zu Grunde gelegten Richtlinien..... | 10 |
| 1.4 | Qualität der zu Grunde gelegten Daten und Modelle..... | 11 |
| 2 | Aufgabenstellung und Standort | 12 |
| 2.1 | Umfang des Gutachtens | 12 |
| 2.2 | Standortbeschreibung..... | 12 |
| 2.3 | Auslegungswindbedingungen der geplanten WEA | 12 |
| 3 | Vergleich der Windbedingungen..... | 17 |
| 3.1 | Grundlagen..... | 17 |
| 3.2 | Vergleich v_{ave} und v_{m50} | 18 |
| 3.2.1 | Vergleich der mittleren Windgeschwindigkeit v_{ave} | 18 |
| 3.2.2 | Vergleich der 50-Jahres-Windgeschwindigkeit v_{m50} | 18 |
| 3.3 | Vergleich der effektiven Turbulenzintensität I_{eff} | 19 |
| 3.3.1 | Auslegungswindbedingungen hinsichtlich der Turbulenzintensität | 19 |
| 3.3.2 | Ermittlung der Umgebungsturbulenzintensität | 21 |
| 3.3.3 | Ermittlung der effektiven Turbulenzintensität I_{eff} | 23 |
| 3.4 | Schräganströmung δ | 30 |
| 3.5 | Höhenexponent α | 30 |
| 3.6 | Luftdichte ρ | 31 |
| 3.7 | Extreme Turbulenzintensität I_{ext} | 32 |
| 4 | Zusammenfassung..... | 33 |
| 4.1 | Neu geplante WEA | 33 |
| 4.2 | Bestehende WEA..... | 34 |
| 5 | Standortbesichtigung | 35 |
| | Abkürzungs- und Symbolverzeichnis..... | 36 |
| | Literaturverzeichnis..... | 38 |

Abbildungsverzeichnis

Abbildung 2.1: Zu untersuchende Windparkkonfiguration; Kartenmaterial: [19.1, 19.2] 16

Tabellenverzeichnis

| | |
|--|----|
| Tabelle 2.1: Zu untersuchende Windparkkonfiguration | 13 |
| Tabelle 2.2: Auslegungswindbedingungen der neu geplanten WEA | 15 |
| Tabelle 3.1: Windverhältnisse am Standort [22.1]..... | 17 |
| Tabelle 3.2: Vergleich der mittleren Windgeschwindigkeit v_{ave} auf Nabenhöhe der geplanten WEA.. | 18 |
| Tabelle 3.3: Vergleich der 50-Jahres-Windgeschwindigkeit v_{m50} auf Nabenhöhe der geplanten WEA | 19 |
| Tabelle 3.4: Richtlinienabhängige Auslegungswindbedingungen hinsichtlich der Turbulenzintensität | 20 |
| Tabelle 3.5: Komplexitätskriterien und C_{CT} nach DIN EN IEC 61400-1:2019 [6]..... | 22 |
| Tabelle 3.6: Repräsentative Turbulenzintensität für einen Standort..... | 23 |
| Tabelle 3.7: Berücksichtigte Betriebsbeschränkung zum Schutz von W32..... | 25 |
| Tabelle 3.8: Ermittelte effektive Turbulenzintensitäten I_{eff} (vor Zubau) | 26 |
| Tabelle 3.9: Ermittelte effektive Turbulenzintensitäten I_{eff} (nach Zubau) – Teil 1 | 27 |
| Tabelle 3.10: Ermittelte effektive Turbulenzintensitäten I_{eff} (nach Zubau) – Teil 2 | 28 |
| Tabelle 3.11: Ermittelte effektive Turbulenzintensitäten I_{eff} (nach Zubau) – Teil 3 | 29 |
| Tabelle 3.12 Standortmittelwert der Schräganströmung δ_{NH} der neu geplanten WEA..... | 30 |
| Tabelle 3.13 Standortmittelwert des Höhenexponenten α_{NH} der neu geplanten WEA..... | 30 |
| Tabelle 3.14: Standortmittelwert der Luftdichte ρ_{NH} der neu geplanten WEA..... | 31 |
| Tabelle 3.15: Ermittelte extreme Turbulenzintensitäten $I_{ext, NH}$ | 32 |
| Tabelle 4.1: Zusammenfassung der Ergebnisse geplante WEA..... | 33 |
| Tabelle 4.2: Zusammenfassung der Ergebnisse Bestands-WEA..... | 34 |

1 Vorbemerkung

1.1 Allgemeines

Das Deutsche Institut für Bautechnik DIBt hat Anfang des Jahres 2013 die Fassung Oktober 2012 der „Richtlinie für Windenergieanlagen – Einwirkungen und Standsicherheitsnachweise für Turm und Gründung“ veröffentlicht und im März 2015 eine korrigierte Fassung herausgegeben [1.1], auf deren Grundlage das vorliegende Gutachten erstellt wurde.

Aufgrund fehlender Kriterien für einen Immissionsgrenzwert für die durch benachbarte Windenergieanlagen verursachten erhöhten Turbulenzbelastungen an einer WEA, können ersatzweise die Kriterien der Standorteignung bezüglich der effektiven Turbulenzintensität für eine Turbulenzimmissionsprognose im Rahmen eines Antrages nach dem Bundes-Immissionsschutz-Gesetz (BImSchG) herangezogen werden. Eine Reduktion der Lebenszeit und der zusätzliche Verschleiß der WEA sind zumutbar, solange die Standorteignung hinsichtlich der Auslegungswerte der Turbulenzintensität oder hinsichtlich der Auslegungslasten gewährleistet bleibt. Somit stellt das vorliegende Gutachten zur Standorteignung von WEA zusätzlich eine Turbulenzimmissionsprognose im Sinne des BImSchG dar und kann als Bestandteil der Antragsstellung nach dem BImSchG verwendet werden.

1.2 Geführte Nachweise

Die Richtlinie DIBt 2012 [1.1] fordert in Kapitel 16 ein alternatives, vereinfachtes Verfahren zum Nachweis der Standorteignung von WEA, das jedoch nur angewendet werden darf, wenn die Standorte der geplanten WEA nach DIN EN 61400-1:2011-08 [7] als nicht topografisch komplexe Standorte zu bezeichnen sind. Im Dezember 2019 wurde die Norm DIN EN IEC 61400-1:2019 [6] veröffentlicht, welche die Norm DIN EN 61400-1:2011-08 [7] ersetzt. Entsprechend der Richtlinie DIBt 2012 [1.1] ist die jeweils angewendete Ausgabe der Norm DIN EN (IEC) 61400-1, entsprechend [6] oder [7], in Ihrer Gesamtheit anzuwenden, weshalb auch die Ermittlung der topografischen Komplexität im vorliegenden Gutachten nach [6] erfolgt. Sind vereinzelte Standorte neu geplanter WEA als topografisch komplex zu bezeichnen, wird der vereinfachte Nachweis der Standorteignung nach [1.1] um die Kriterien nach DIN EN IEC 61400-1:2019 [6], Abschnitt 11.9, erweitert. Die Vergleiche der Auslegungswerte für die zu untersuchenden Größen mit den im Rahmen dieses Gutachtens ermittelten Werten sind nach der DIBt Richtlinie Fassung Oktober 2012 nur für neu geplante Anlagen zu führen [1.1]. Für bestehende Anlagen, die nach der DIBt 1993 [3] oder DIBt 2004 [2] typengeprüft wurden, darf im Falle einer Parkänderung / -erweiterung der Nachweis der Standorteignung auch weiterhin nach dem Verfahren der DIBt 2004 erbracht werden [1.1].

Die Richtlinie DIBt 2012 [1.1] lässt folgende Möglichkeiten, bzw. mögliche auftretende Konfigurationen, in Bezug auf die Typenprüfung und die dieser zu Grunde gelegten Richtlinie, unberücksichtigt:

- i. Der geplanten Anlage liegt eine Typenprüfung nach der Richtlinie DIBt 2004 [2] zu Grunde.
- ii. Einer oder mehrerer zu berücksichtigender Bestandsanlagen liegt eine Typenprüfung nach der DIBt 2012 [1.1] Richtlinie zu Grunde.

Für diese zwei beschriebenen Fälle, die nicht durch die DIBt 2012 [1.1] abgedeckt sind, werden folgende Verfahrensweisen gemäß [1.2] als Quasistandard angewandt:

- i. Liegt einer neu geplanten Anlage eine Typenprüfung gemäß DIBt 2004 [2] zu Grunde, wird der Nachweis der Standorteignung basierend auf dem vereinfachten Verfahren nach DIBt 2012 [1.1], beschrieben in Abschnitt 1.2.1, geführt. Dieser Nachweis entspricht den Mindestanforderungen der zum Nachweis der Standorteignung der Typenprüfung nach DIBt 2004 [2] zu Grunde gelegten Richtlinie DIN EN 61400-1:2004 [8], bzw. IEC 61400-1 ed.2 [4].
- ii. Da davon auszugehen ist, dass für bereits genehmigte, bzw. bestehende Anlagen mit einer Typenprüfung nach DIBt 2012 [1.1] die Standorteignung in deren Genehmigungsverfahren

nachgewiesen wurde, werden nur durch hinzukommende Anlagen beeinflusste Parameter geprüft und mit den Auslegungswerten verglichen. Dies entspricht lediglich der effektiven Turbulenzintensität I_{eff} , welche durch einen Zubau erhöht werden kann.

1.2.1 Nachweis der Standorteignung an topografisch nicht komplexen Standorten durch Vergleich der Windbedingungen

Der nach der DIBt Richtlinie Fassung 2012 [1.1] vereinfachte Nachweis zur Standorteignung verlangt folgende Nachweise der Windbedingungen auf Nabenhöhe der geplanten WEA:

- i. Vergleich der mittleren Windgeschwindigkeit.
 - (1) Die mittlere Windgeschwindigkeit am Standort ist um mindestens 5 % kleiner als gemäß Typen-/Einzelprüfung, oder
 - (2) die mittlere Windgeschwindigkeit ist kleiner als gemäß Typen-/Einzelprüfung und für den Formparameter k der Weibull-Funktion gilt: $k \geq 2$.
- ii. Vergleich der effektiven Turbulenzintensität nach DIN EN 61400-1:2011-08 [7] zwischen $0.2 v_{m50}(h)$ und $0.4 v_{m50}(h)$ mit der Auslegungsturbulenz nach NTM.
- iii. Vergleich der 50-Jahreswindgeschwindigkeit.
 - (1) Die Windzone gemäß Typen-/Einzelprüfung deckt die Windzone des betrachteten Standortes entsprechend der Windzonenkarte ab (die detaillierten Regelungen gemäß DIN EN 1991-1-4, Absatz 4.3.3 einschließlich NA [9] für nicht ebene Geländelagen sind ggf. zu beachten), oder
 - (2) die 50-Jahreswindgeschwindigkeit $v_{m50}(h)$ gemäß Typen-/Einzelprüfung deckt die 50-Jahreswindgeschwindigkeit am Standort ab (z.B. Nachweis durch eine Extremwindabschätzung).

1.2.2 Nachweis der Standorteignung an topografisch komplexen Standorten durch Vergleich der Windbedingungen

Handelt es sich nach Abschnitt 11.2 der DIN EN IEC 61400-1:2019 [6] um einen als topografisch komplex zu bezeichnenden Standort der Kategorie L, M oder H und liegt der zu untersuchenden WEA eine Typenprüfung nach DIBt 2012 [1.1] zu Grunde, wird der vereinfachte Nachweis zur Standorteignung nach Abschnitt 1.2.1 um folgende Nachweise der Windbedingungen auf Nabenhöhe der geplanten WEA, basierend auf DIN EN IEC 61400-1:2019 [6] erweitert.

- i. Der windenergiegewichtete Mittelwert aller Richtungen der Schräganströmung δ darf den vorgegebenen Wert von $\pm 8^\circ$, bzw. den in der Typenprüfung angegebenen Wert, nicht überschreiten bzw. unterschreiten.
- ii. Der über alle Richtungen und Windgeschwindigkeiten energiegewichtete Standortmittelwert des Höhenexponenten α darf den Wert von $0.05 \leq \alpha \leq 0.25$, bzw. den in der Typenprüfung angegebenen Wert nicht überschreiten bzw. unterschreiten.
- iii. Der Standortmittelwert der Luftdichte ρ darf bei allen Windgeschwindigkeiten größer gleich der Nennwindgeschwindigkeit v_r den Wert 1.225 kg/m^3 oder den in der Typenprüfung angegebenen Wert nicht überschreiten. Alternativ kann eine Luftdichte über dem Wert von 1.225 kg/m^3 oder dem in der Typenprüfung angegebenen Wert durch Einhaltung der folgenden Ungleichung nachgewiesen werden:

$$\rho_{\text{Auslegung}} * v_{\text{ave,Auslegung}}^2 \geq \rho_{\text{Standort}} * v_{\text{ave,Standort}}^2$$

- iv. Es ist der Nachweis zu erbringen, dass die Auslegungswerte des ETM auch unter Berücksichtigung der Nachlaufsituation mit der höchsten Nachlaufturbulenz im Zentrum des Nachlaufs, nicht überschritten werden.

1.2.3 Verfahren bei Überschreitungen – Nachweis durch Vergleich der Lasten

Kann der vereinfachte Nachweis der Windbedingungen nach DIBt 2012 [1.1] aus Abschnitt 1.2.1 nicht geführt werden, da die zu prüfenden Parameter mittlere Windgeschwindigkeit v_{ave} oder effektive Turbulenzintensität I_{eff} nicht eingehalten werden, kann die Standorteignung durch einen Lastvergleich (Vergleich der standortspezifischen Lasten mit den Lastannahmen der Typenprüfung) der Betriebsfestigkeitslasten nachgewiesen werden. In diesem Fall ist der Nachweis der Standorteignung der jeweiligen WEA auf Basis eines Lastvergleiches der Betriebsfestigkeitslasten (DLC 1.2) zu führen. Wird der Auslegungswert v_{m50} nicht eingehalten, kann die Standorteignung auf Basis eines Lastvergleiches der Extremlasten nachgewiesen werden. In diesem Fall ist der Nachweis der Standorteignung der jeweiligen WEA auf Basis eines Lastvergleiches der Extremlasten (DLC 1.1, DLC 1.3, DLC 6.1, und DLC 6.2) zu führen.

Kann der Nachweis der Windbedingungen an einem als topografisch komplex zu bezeichnenden Standort nach Abschnitt 1.2.1 und Abschnitt 1.2.2 nicht geführt werden, da einer oder mehrere der zu prüfenden Werte nicht eingehalten werden, kann die Standorteignung entsprechend DIN EN IEC 61400-1:2019 [6] auf Basis eines Lastvergleiches unter Berücksichtigung der standortspezifischen Windbedingungen aus Abschnitt 1.2.1 und Abschnitt 1.2.2 durchgeführt werden. Demnach ist der Nachweis der Standorteignung der jeweiligen WEA auf Basis eines Lastvergleiches der Betriebsfestigkeitslasten (DLC 1.2) und/oder der Extremlasten (DLC 1.1, DLC 1.3, DLC 6.1, und DLC 6.2) zu führen.

In beiden Fällen werden die der Typenprüfung zu Grunde gelegten Auslegungslasten mit den standortspezifischen Lasten, die auf Basis der standortspezifischen Windbedingungen aus dem vorliegenden Gutachten ermittelt werden, verglichen. Wenn sich zeigt, dass die standortspezifischen Lasten die Auslegungslasten nicht überschreiten oder diese einhalten, ist eine Standorteignung durch den Vergleich der Lasten nachgewiesen. Werden die Auslegungslasten nicht eingehalten, muss die Anlage gegebenenfalls mit einer sektoriellen Betriebseinschränkung betrieben werden, um die Lasten soweit zu reduzieren, dass sie innerhalb der Auslegungslasten liegen, oder die Standorteignung kann nicht durch einen Vergleich der Lasten nachgewiesen werden.

Die Berechnung der standortspezifischen Lasten erfolgt in der Regel durch den Hersteller der betrachteten WEA. Der zugehörige Bericht zur durchgeführten Lastberechnung wird der I17-Wind GmbH & Co. KG im Rahmen einer Geheimhaltungsvereinbarung vorgelegt. Zudem ist es möglich die Betriebsfestigkeits- und Extremlasten einer WEA basierend auf einem generischen Anlagenmodell zu ermitteln und mit den Auslegungslasten, welche mittels des identischen generischen Anlagenmodells ermittelt werden, zu vergleichen. Diese Berechnungen erfolgen in der Regel nicht durch den Anlagenhersteller, sondern durch einen dritten unabhängigen Gutachter. Die Berichte werden von der I17-Wind GmbH & Co. KG dahingehend überprüft, dass die Eingangsdaten korrekt übernommen und angesetzt wurden. Das Ergebnis einer Lastberechnung wird als richtig vorausgesetzt. Eine Haftung für die Richtigkeit der Lastrechnung wird nicht übernommen.

1.3 Hinweise zu den zu Grunde gelegten Richtlinien

Folgende, von der DIBt 2012 Richtlinie [1.1] und der DIN EN IEC 61400-1:2019 [6] abweichende, jedoch konservativ abdeckende, Verfahren wurden für das vorliegende Gutachten zur Standorteignung von WEA gewählt:

- I. Entsprechend der DIBt 2012 [1.1] ist es für eine Prüfung der Standorteignung Voraussetzung, dass für die WEA eine Typenprüfung bzw. eine Einzelprüfung vorliegt. Ist dies nicht der Fall, wird der Vergleich auf Basis von vorläufigen Auslegungswerten, für die die Typenprüfung voraussichtlich angestrebt wird, durchgeführt. Somit behält das vorliegende Gutachten im Falle einer Typenprüfung bzw. Einzelprüfung, welche die zu Grunde gelegten Auslegungsparameter abdeckt, seine Gültigkeit.
- II. Es wird davon ausgegangen, dass jede im Gutachten betrachtete WEA die Ihrer Typenprüfung zu Grunde gelegte Auslegungslebensdauer τ_{TP} noch nicht überschritten hat.
- III. Der Vergleich des Standortwertes der mittleren Windgeschwindigkeit auf Nabenhöhe v_{ave} mit dem Auslegungswert kann nur nach [1.1] erfolgen, wenn die Auslegungswerte der zu betrachtenden WEA einen Formparameter k der Weibullverteilung von $k = 2.0$ ausweisen. Wenn die Auslegungswerte der zu betrachtenden WEA einen Formparameter $k \neq 2.0$ ausweisen, kann der in [1.1] geforderte Vergleich nicht mehr erfolgen. In diesem Fall wird das Verfahren nach [6] gewählt, welches einen Vergleich der Wahrscheinlichkeitsdichtefunktion pdf_{NH} der standortspezifischen Windgeschwindigkeiten mit der Wahrscheinlichkeitsdichtefunktion pdf_{TP} der Typenprüfung in einem Bereich von $v_{ave} - 2v_{ave}$ fordert. Zusätzlich wird der Bereich von $0.2v_{ref} - 0.4v_{ref}$ nach [7] herangezogen und stets der konservativ abdeckende Bereich dem Vergleich zu Grunde gelegt. In dem zu untersuchenden Bereich muss die Bedingung $pdf_{NH} \leq pdf_{TP}$ erfüllt sein. Die Berechnung der Wahrscheinlichkeitsdichtefunktionen pdf_{NH} und pdf_{TP} erfolgt entsprechend [6] auf Basis der Standortmittelwerte A_{NH} und k_{NH} bzw. der Auslegungswerte A_{TP} und k_{TP} der zu untersuchenden WEA.
- IV. Erfolgt der Nachweis der Standorteignung durch den Vergleich der Windbedingungen nach Abschnitt 1.2.1 und 1.2.2, hat der Vergleich der standortspezifischen effektiven Turbulenzintensität und der Auslegungsturbulenz nach NTM in dem Bereich zwischen $0.2v_{m50}(h)$ und $0.4v_{m50}(h)$ zu erfolgen [1.1]. Liegt einer zu betrachtenden WEA keine Auslegungsturbulenz nach NTM vor, erfolgt der Vergleich mit der in der Typenprüfung aufgeführten Auslegungsturbulenz. Entsprechend [6] hat der Vergleich in dem Bereich zwischen v_{ave} und $2v_{ave}$ zu erfolgen. Erfolgt der Nachweis der Standorteignung durch den Vergleich der Lasten nach Abschnitt 1.2.3, sind der Lastberechnung nach [1.1] mindestens die standortspezifischen effektiven Turbulenzintensitäten von v_{in} bis $0.4v_{m50}(h)$ bzw. von v_{in} bis v_{out} entsprechend DLC 1.2 nach [6] zu Grunde zu legen. Im vorliegenden Gutachten werden die standortspezifischen effektiven Turbulenzintensitäten mindestens im Windgeschwindigkeitsbereich von 5 m/s bis 25 m/s (bzw. v_{out} wenn $v_{out} < 25$ m/s) ausgewiesen, was die oben beschriebenen Anforderungen für den Nachweis der Standorteignung durch den Vergleich der Windbedingungen nach [1.1], [6] und auch [7] abdeckt. Erfolgt der Nachweis der Standorteignung durch den Vergleich der Lasten, werden dem Anlagenhersteller grundsätzlich die standortspezifischen effektiven Turbulenzintensitäten in dem Bereich von v_{in} bis v_{out} zur Verfügung gestellt. Liegt einer zu prüfenden WEA eine Typenprüfung nach [2] zu Grunde, erfolgt der Vergleich mit der Turbulenzkurve für Turbulenzkategorie A nach [1.1], da dieser Verlauf den nach [2] anzusetzenden mit abdeckt.
- V. Bezüglich der effektiven Turbulenzintensität I_{eff} werden grundsätzlich alle Anlagen im Umkreis des 10fachen Rotordurchmessers D der geplanten Anlage(n) in die Betrachtung einbezogen und nachgewiesen. Dieses Kriterium deckt alle Kriterien nach [1.1], [6] und [7] ab.
- VI. Der standortspezifische Mittelwert der Luftdichte ρ wird abdeckend für alle Windgeschwindigkeiten angegeben.

- VII. Hinsichtlich der Auslegungswindbedingungen des ETM werden die Werte der höchsten Turbulenz im Zentrum des Nachlaufs ausgewiesen. Da eine Überschreitung der Auslegungswindbedingungen bezüglich des ETM in der Regel mit einer Überschreitung der effektiven Turbulenzintensität einhergeht, kann davon ausgegangen werden, dass eine Überschreitung der extremen Turbulenzintensität nur in solchen Fällen eintritt, in denen die Standorteignung durch eine Lastrechnung des Hersteller nachgewiesen werden muss, was dann auf Basis der ausgewiesenen Werte für die Extremturbulenz erfolgt. Aus diesem Grund wird der Vergleich der Auslegungswindbedingungen des ETM mit den Standortbedingungen nicht geführt.
- VIII. Auf Grund der verwendeten Berechnungsprogramme und deren Zahlenausgabeformat, werden die im vorliegenden Gutachten ausgewiesenen Ergebnisse in der Regel mit dem Dezimaltrennzeichen „Punkt“ versehen.
- IX. Auf Grund der unterschiedlichen Begrifflichkeiten und Bezeichnungen identischer Größen in den zu Grunde gelegten Richtlinien und Normen, werden im vorliegenden Gutachten teilweise Begriffe und Bezeichnungen gewählt bzw. eingeführt, die, soweit möglich, eine Ähnlichkeit zu den jeweiligen Begriffen und Bezeichnungen in den Richtlinien und Normen aufweisen, um sie diesen zuordnen zu können. Die korrekte Umsetzung der in den Richtlinien und Normen geforderten Vergleiche bleibt davon unberührt.

1.4 Qualität der zu Grunde gelegten Daten und Modelle

Alle im Rahmen des vorliegenden Gutachtens ermittelten Ergebnisse und Zwischenergebnisse basieren einerseits auf Angaben, die vom Auftraggeber übermittelt wurden und andererseits auf Berechnungsergebnissen, die durch die I17-Wind GmbH & Co. KG ermittelt wurden. Zu den Unsicherheiten der den Eingangsdaten vom Auftraggeber zu Grunde gelegten Berechnungsmodellen kann seitens der I17-Wind GmbH & Co. KG keine Aussage getroffen werden. Diese Eingangsdaten werden im Weiteren als richtig und repräsentativ für den betrachteten Standort vorausgesetzt.

Die in den Berechnungen herangezogenen Anlagenparameter, Schubbeiwert c_t und Schnelllaufzahl λ , werden in der Regel vom Anlagenhersteller bereitgestellt. Diese Werte werden als richtig vorausgesetzt. Die berücksichtigten Werte entsprechen dem Stand zum Zeitpunkt der Gutachtenerstellung. Änderungen sind dem Anlagenhersteller vorbehalten und bedürfen einer neuen Berechnung und Bewertung. Bei Anlagen, für die keine Informationen vorliegen, werden konservativ abdeckende, generische Anlagenparameter angesetzt, wobei keine Haftung für die Richtigkeit der ermittelten Werte übernommen wird.

Die im vorliegenden Gutachten angegebenen Nabenhöhen der geplanten WEA entsprechen stets der aktuell vorliegenden Dokumentation. In der Entwicklungsphase einer WEA sind geringfügige Änderungen der Nabenhöhe ohne eine Änderung der zu Grunde gelegten Auslegungswindbedingungen möglich, sodass die im vorliegenden Gutachten betrachtete Nabenhöhe von der in den Antragsunterlagen ausgewiesenen Nabenhöhe geringfügig abweichen kann. Das gleiche gilt für die in den Genehmigungen dokumentierten Nabenhöhen bestehender WEA, die ebenfalls geringfügig von aktuellen Werten abweichen können. Bei einer Abweichung der Nabenhöhe von maximal ± 1 m behält das vorliegende Gutachten seine vollumfängliche Gültigkeit, wenn die im Gutachten berücksichtigten Auslegungswindbedingungen durch die im Rahmen des Genehmigungsverfahrens eingereichten Auslegungswindbedingungen abgedeckt sind.

Den von der I17-Wind GmbH & Co. KG ermittelten Ergebnissen liegen unterschiedliche, vereinfachte physikalische Modelle zu Grunde, die nur annähernd die Realität abbilden, jedoch als konservativ zu bewerten sind. Des Weiteren werden bei den Berechnungen teilweise vereinfachende Annahmen getroffen, die jedoch allesamt ebenfalls als konservativ zu bewerten sind.

2 Aufgabenstellung und Standort

2.1 Umfang des Gutachtens

Da im geplanten Windpark kein Anlagenstandort einer nach DIBt 2012 typengeprüften neu geplanten Anlage nach DIN EN IEC 61400-1:2019 [6] als topografisch komplexer Standort zu bezeichnen ist, findet für alle WEA das vereinfachte Verfahren nach Abschnitt 1.2.1 Anwendung.

2.2 Standortbeschreibung

Der Auftraggeber plant die Errichtung von zwei WEA des Typs Vestas V162-6.0 MW auf 169.0 m Nabenhöhe am Standort Borne-Mitte in Sachsen-Anhalt.

Die I17-Wind GmbH & Co. KG wurde damit beauftragt, ein Gutachten zur Standorteignung von WEA nach der DIBt 2012 Richtlinie [1.1] unter Berücksichtigung der in Tabelle 2.1 aufgeführten [21] und in Abbildung 2.1 dargestellten WEA zu erstellen. Tabelle 2.1 führt neben den Spezifikationen der WEA am Standort auch die der Typenprüfung zu Grunde gelegten, bzw. bei fehlender Information unterstellten, Richtlinien auf. Des Weiteren wird aufgeführt, welcher Wöhlerlinienkoeffizient m und welcher Betriebsmodus für die Berechnung der effektiven Turbulenzintensität I_{eff} herangezogen wurde. Die Ergebnisse in 3.3.3 berücksichtigen den jeweiligen Wöhlerlinienkoeffizienten aus Tabelle 2.1. Wenn über den Betriebsmodus keine Informationen in den Eingangsdaten vorliegen, wird stets mit dem Betriebsmodus gerechnet, der die konservativsten Ergebnisse liefert, was dem offenen, nicht leistungsreduzierten Betriebsmodus entspricht.

Die Spalte „Innerhalb 10 D “ weist aus, welche WEA sich innerhalb eines Umkreises von 10 D um die geplanten WEA befinden. Für diese WEA hat nach [6] und [7] eine Bewertung der topografischen Komplexität und der effektiven Turbulenzintensität I_{eff} zu erfolgen.

Im vorliegenden Gutachten beziehen sich alle Bezeichnungen auf die interne, laufende W-Nummer. Wird eine Größe mit dem Index $_{TP}$ bezeichnet, handelt es sich um den Auslegungswert der zu betrachtenden WEA. Eine Bezeichnung mit dem Index $_{NH}$ weist auf den standortspezifischen Wert der betrachteten Anlage hin.

Im vorgegeben Windparklayout ergibt sich der geringste relative Abstand s einer neu geplanten WEA zu einer anderen WEA von 1.35, bezogen auf den größeren Rotordurchmesser D . Dies betrifft die WEA W1 und W32.

2.3 Auslegungswindbedingungen der geplanten WEA

Die Auslegungswindbedingungen werden entweder der Typenprüfung entnommen oder vom Hersteller übermittelt. Da der Vergleich der Auslegungswindbedingungen, abgesehen von I_{eff} , mit den standortspezifischen Bedingungen nur für neu geplante WEA zu führen ist, werden in Tabelle 2.2 nur die Auslegungswindbedingungen der neu geplanten WEA aufgeführt.

Tabelle 2.1: Zu untersuchende Windparkkonfiguration

| Interne W-Nr. | Bez. Auftraggeber | Neu / Bestand | Innerhalb 10 D | Topografische Komplexität | | GK Bessel Zone 4 | | Hersteller | WEA Typ | NH ¹ [m] | D [m] | Betriebsmodus | FEH [m] | P _N [kW] | Prüfgrundlage DIBt | TK | m _{max, TP} [-] |
|---------------|-------------------|---------------|----------------|---------------------------|-----------|------------------|---------|------------|-----------------|---------------------|-------|---------------|---------|---------------------|--------------------|----|--------------------------|
| | | | | Komplex | Kategorie | X [m] | Y [m] | | | | | | | | | | |
| W1 | WEA N21 | Neu | Ja | Nein | - | 4470944 | 5758118 | Vestas | V162-6.0 MW | 169.0 | 162.0 | PO6000 | 0.0 | 6000 | 2012 | S | 10 |
| W29 | WEA N20 | Neu | Ja | Nein | - | 4471431 | 5757263 | Vestas | V162-6.0 MW | 169.0 | 162.0 | PO6000 | 0.0 | 6000 | 2012 | S | 10 |
| W3 | 02/ BO33 | Bestand | Ja | Nein | - | 4470277 | 5758304 | Wind World | W5200/750 | 73.9 | 52.0 | Standard | 0.0 | 750 | 1993 | A | 10 |
| W4 | 11/ BO 48 | Bestand | Ja | Nein | - | 4471310 | 5758659 | Wind World | W5200/750 | 73.9 | 52.0 | Standard | 0.0 | 750 | 1993 | A | 10 |
| W6 | 10/ BO 47 | Bestand | Ja | Nein | - | 4471127 | 5757635 | Wind World | W5200/750 | 73.9 | 52.0 | Standard | 0.0 | 750 | 1993 | A | 10 |
| W7 | 24/ BO 54 | Bestand | Ja | Nein | - | 4471272 | 5759150 | NEG Micon | NM60-1000 | 69.9 | 60.0 | Standard | 0.0 | 1000 | 1993 | A | 10 |
| W8 | 25/ BO 55 | Bestand | Ja | Nein | - | 4471239 | 5758923 | NEG Micon | NM60-1000 | 69.9 | 60.0 | Standard | 0.0 | 1000 | 1993 | A | 10 |
| W9 | 26/ BO 56 | Bestand | Ja | Nein | - | 4471865 | 5758465 | NEG Micon | NM60-1000 | 69.9 | 60.0 | Standard | 0.0 | 1000 | 1993 | A | 10 |
| W10 | 27/ BO 31 | Bestand | Nein | - | - | 4473031 | 5758399 | Vestas | V80-2.0 MW | 94.6 | 80.0 | Mode 0 | 0.0 | 2000 | 1993 | A | 10 |
| W11 | 28/ BO 32 | Bestand | Nein | - | - | 4472842 | 5759117 | Vestas | V90-3.0 MW | 104.8 | 90.0 | Mode 0 | 0.0 | 3000 | 2004 | A | 10 |
| W12 | WEA N 1 | Bestand | Ja | Nein | - | 4470181 | 5759112 | ENERCON | E-82 / 2.000 kW | 138.4 | 82.0 | BM 2000kW | 0.0 | 2000 | 2004 | A | 10 |
| W13 | WEA N 3 | Bestand | Ja | Nein | - | 4470741 | 5759322 | ENERCON | E-82 / 2.000 kW | 138.4 | 82.0 | BM 2000kW | 0.0 | 2000 | 2004 | A | 10 |
| W14 | WEA N 4 | Bestand | Ja | Nein | - | 4470700 | 5759039 | ENERCON | E-82 / 2.000 kW | 138.4 | 82.0 | BM 2000kW | 0.0 | 2000 | 2004 | A | 10 |
| W15 | WEA N 5 | Bestand | Ja | Nein | - | 4470608 | 5758533 | ENERCON | E-82 / 2.000 kW | 138.4 | 82.0 | BM 2000kW | 0.0 | 2000 | 2004 | A | 10 |
| W16 | WEA N 6 | Bestand | Ja | Nein | - | 4470571 | 5758297 | ENERCON | E-82 / 2.000 kW | 138.4 | 82.0 | BM 2000kW | 0.0 | 2000 | 2004 | A | 10 |
| W17 | WEA N 8 | Bestand | Ja | Nein | - | 4471423 | 5758352 | ENERCON | E-82 / 2.000 kW | 138.4 | 82.0 | BM 2000kW | 0.0 | 2000 | 2004 | A | 10 |
| W18 | WEA N 9 | Bestand | Ja | Nein | - | 4471402 | 5758049 | ENERCON | E-82 / 2.000 kW | 138.4 | 82.0 | BM 2000kW | 0.0 | 2000 | 2004 | A | 10 |
| W19 | WEA N 10 | Bestand | Ja | Nein | - | 4471354 | 5757753 | ENERCON | E-82 / 2.000 kW | 138.4 | 82.0 | BM 2000kW | 0.0 | 2000 | 2004 | A | 10 |
| W20 | WEA N 11 | Bestand | Ja | Nein | - | 4471829 | 5759170 | ENERCON | E-82 / 2.000 kW | 138.4 | 82.0 | BM 2000kW | 0.0 | 2000 | 2004 | A | 10 |
| W21 | WEA N 12 | Bestand | Nein | - | - | 4472482 | 5759190 | ENERCON | E-82 / 2.000 kW | 138.4 | 82.0 | BM 2000kW | 0.0 | 2000 | 2004 | A | 10 |
| W22 | WEA N 13 | Bestand | Nein | - | - | 4472719 | 5758762 | ENERCON | E-82 / 2.000 kW | 138.4 | 82.0 | BM 2000kW | 0.0 | 2000 | 2004 | A | 10 |
| W23 | WEA N 14 | Bestand | Nein | - | - | 4472677 | 5758491 | ENERCON | E-82 / 2.000 kW | 138.4 | 82.0 | BM 2000kW | 0.0 | 2000 | 2004 | A | 10 |
| W24 | WEA N 15 | Bestand | Ja | Nein | - | 4472646 | 5758233 | ENERCON | E-82 / 2.000 kW | 138.4 | 82.0 | BM 2000kW | 0.0 | 2000 | 2004 | A | 10 |

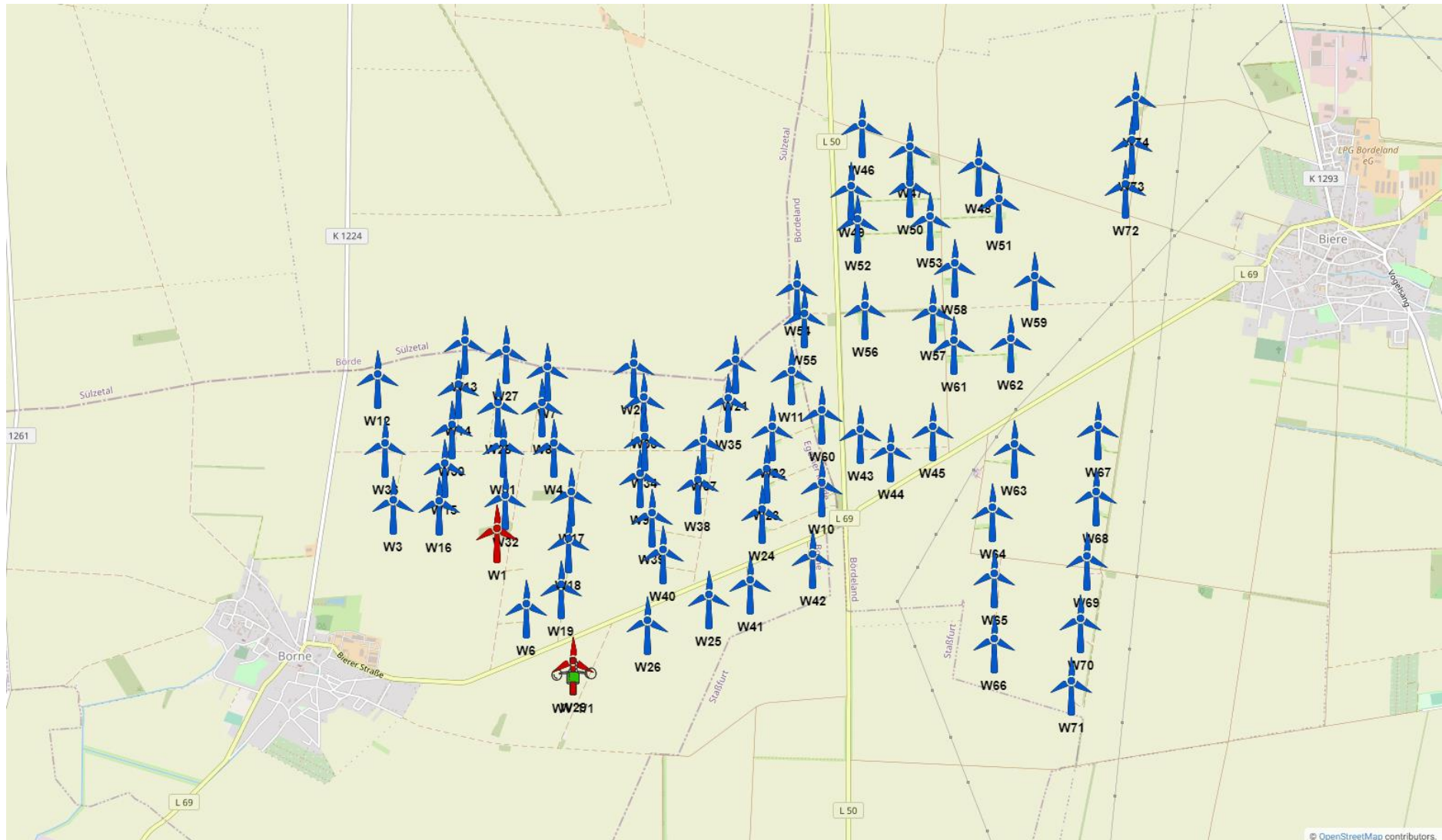
¹ Siehe Kapitel 1.4 Absatz 3

| Interne W-Nr. | Bez. Auftraggeber | Neu / Bestand | Innerhalb 10 D | Topografische Komplexität | | GK Bessel Zone 4 | | Hersteller | WEA Typ | NH ¹ [m] | D [m] | Betriebsmodus | FEH [m] | P _N [kW] | Prüfgrundlage DIBt | TK | m _{max, TP} [-] |
|---------------|-------------------|---------------|----------------|---------------------------|-----------|------------------|---------|------------|--------------------|---------------------|-------|---------------|---------|---------------------|--------------------|----|--------------------------|
| | | | | Komplex | Kategorie | X [m] | Y [m] | | | | | | | | | | |
| W25 | WEA N 16 | Bestand | Ja | Nein | - | 4472302 | 5757685 | ENERCON | E-82 / 2.000 kW | 138.4 | 82.0 | BM 2000kW | 0.0 | 2000 | 2004 | A | 10 |
| W26 | WEA N 17 | Bestand | Ja | Nein | - | 4471910 | 5757524 | ENERCON | E-82 / 2.000 kW | 138.4 | 82.0 | BM 2000kW | 0.0 | 2000 | 2004 | A | 10 |
| W27 | WEA N 18 | Bestand | Ja | Nein | - | 4471008 | 5759267 | Vestas | V112-3.3 MW | 140.0 | 112.0 | Mode 0 | 3.7 | 3300 | 2012 | A | 10 |
| W28 | WEA N19 | Bestand | Ja | Nein | - | 4470956 | 5758922 | Vestas | V112-3.3 MW | 140.0 | 112.0 | Mode 0 | 3.7 | 3300 | 2012 | A | 10 |
| W30 | R 1 | Bestand | Ja | Nein | - | 4470657 | 5758783 | ENERCON | E-82 E2 / 2.300 kW | 138.4 | 82.0 | BM 0 s | 0.0 | 2300 | 2004 | A | 10 |
| W31 | R 2 | Bestand | Ja | Nein | - | 4470987 | 5758666 | ENERCON | E-82 E2 / 2.300 kW | 138.4 | 82.0 | BM 0 s | 0.0 | 2300 | 2004 | A | 10 |
| W32 | R 3 | Bestand | Ja | Nein | - | 4470999 | 5758329 | ENERCON | E-82 E2 / 2.300 kW | 138.4 | 82.0 | BM 0 s | 0.0 | 2300 | 2004 | A | 10 |
| W33 | R 4 | Bestand | Ja | Nein | - | 4471894 | 5758954 | ENERCON | E-82 E2 / 2.300 kW | 138.4 | 82.0 | BM 0 s | 0.0 | 2300 | 2004 | A | 10 |
| W34 | R 5 | Bestand | Ja | Nein | - | 4471893 | 5758699 | ENERCON | E-82 E2 / 2.300 kW | 138.4 | 82.0 | BM 0 s | 0.0 | 2300 | 2004 | A | 10 |
| W35 | R 6 | Bestand | Nein | - | - | 4472436 | 5758946 | ENERCON | E-82 E2 / 2.300 kW | 138.4 | 82.0 | BM 0 s | 0.0 | 2300 | 2004 | A | 10 |
| W36 | R 7 | Bestand | Ja | Nein | - | 4470227 | 5758667 | ENERCON | E-82 E2 / 2.300 kW | 138.4 | 82.0 | BM 0 s | 0.0 | 2300 | 2004 | A | 10 |
| W37 | R 8 | Bestand | Ja | Nein | - | 4472275 | 5758677 | ENERCON | E-82 E2 / 2.300 kW | 138.4 | 82.0 | BM 0 s | 0.0 | 2300 | 2004 | A | 10 |
| W38 | R 9 | Bestand | Ja | Nein | - | 4472237 | 5758421 | ENERCON | E-82 E2 / 2.300 kW | 138.4 | 82.0 | BM 0 s | 0.0 | 2300 | 2004 | A | 10 |
| W39 | R 10 | Bestand | Ja | Nein | - | 4471940 | 5758210 | ENERCON | E-82 E2 / 2.300 kW | 138.4 | 82.0 | BM 0 s | 0.0 | 2300 | 2004 | A | 10 |
| W40 | R 11 | Bestand | Ja | Nein | - | 4472008 | 5757972 | ENERCON | E-82 E2 / 2.300 kW | 138.4 | 82.0 | BM 0 s | 0.0 | 2300 | 2004 | A | 10 |
| W41 | R 12 | Bestand | Ja | Nein | - | 4472571 | 5757779 | ENERCON | E-82 E2 / 2.300 kW | 138.4 | 82.0 | BM 0 s | 0.0 | 2300 | 2004 | A | 10 |
| W42 | R 13 | Bestand | Nein | - | - | 4472974 | 5757941 | ENERCON | E-82 E2 / 2.300 kW | 138.4 | 82.0 | BM 0 s | 0.0 | 2300 | 2004 | A | 10 |
| W43 | 01/99 BI51 | Bestand | Nein | - | - | 4473284 | 5758737 | NEG Micon | NM52-900 | 73.8 | 52.0 | Standard | 0.0 | 900 | 1993 | A | 10 |
| W44 | 02/99 BI50 | Bestand | Nein | - | - | 4473477 | 5758617 | NEG Micon | NM52-900 | 73.8 | 52.0 | Standard | 0.0 | 900 | 1993 | A | 10 |
| W45 | 03/99 BI49 | Bestand | Nein | - | - | 4473746 | 5758754 | NEG Micon | NM52-900 | 73.8 | 52.0 | Standard | 0.0 | 900 | 1993 | A | 10 |
| W46 | 01/ BI 23 | Bestand | Nein | - | - | 4473304 | 5760698 | NEG Micon | NM82-1500 | 93.6 | 82.0 | Standard | 0.0 | 1500 | 1993 | A | 10 |
| W47 | 02/ BI 25 | Bestand | Nein | - | - | 4473614 | 5760552 | NEG Micon | NM82-1500 | 93.6 | 82.0 | Standard | 0.0 | 1500 | 1993 | A | 10 |
| W48 | 04/ BI 27 | Bestand | Nein | - | - | 4474052 | 5760449 | NEG Micon | NM82-1500 | 93.6 | 82.0 | Standard | 0.0 | 1500 | 1993 | A | 10 |
| W49 | 05/ BI 21 | Bestand | Nein | - | - | 4473233 | 5760300 | NEG Micon | NM72C-1500 | 64.0 | 72.0 | Standard | 0.0 | 1500 | 1993 | A | 10 |
| W50 | 06/ BI 24 | Bestand | Nein | - | - | 4473612 | 5760311 | NEG Micon | NM72C-1500 | 64.0 | 72.0 | Standard | 0.0 | 1500 | 1993 | A | 10 |
| W51 | 07/ BI 28 | Bestand | Nein | - | - | 4474182 | 5760214 | NEG Micon | NM82-1500 | 93.6 | 82.0 | Standard | 0.0 | 1500 | 1993 | A | 10 |
| W52 | 08/ BI 22 | Bestand | Nein | - | - | 4473274 | 5760089 | NEG Micon | NM82-1500 | 93.6 | 82.0 | Standard | 0.0 | 1500 | 1993 | A | 10 |
| W53 | 09/ BI 26 | Bestand | Nein | - | - | 4473736 | 5760101 | NEG Micon | NM82-1500 | 93.6 | 82.0 | Standard | 0.0 | 1500 | 1993 | A | 10 |

| Interne W-Nr. | Bez. Auftraggeber | Neu / Bestand | Innerhalb 10 D | Topografische Komplexität | | GK Bessel Zone 4 | | Hersteller | WEA Typ | NH ¹ [m] | D [m] | Betriebsmodus | FEH [m] | P _N [kW] | Prüfgrundlage DIBt | TK | m _{max, TP} [-] |
|---------------|-------------------|---------------|----------------|---------------------------|-----------|------------------|---------|------------|--------------------|---------------------|-------|---------------|---------|---------------------|--------------------|----|--------------------------|
| | | | | Komplex | Kategorie | X [m] | Y [m] | | | | | | | | | | |
| W54 | 10/ BI 10 | Bestand | Nein | - | - | 4472882 | 5759671 | NEG Micon | NM72C-1500 | 64.0 | 72.0 | Standard | 0.0 | 1500 | 1993 | A | 10 |
| W55 | 11/ BI 11 | Bestand | Nein | - | - | 4472925 | 5759483 | NEG Micon | NM82-1500 | 93.6 | 82.0 | Standard | 0.0 | 1500 | 1993 | A | 10 |
| W56 | 12/ BI 13 | Bestand | Nein | - | - | 4473317 | 5759534 | NEG Micon | NM82-1500 | 93.6 | 82.0 | Standard | 0.0 | 1500 | 1993 | A | 10 |
| W57 | 13/ BI 14 | Bestand | Nein | - | - | 4473754 | 5759505 | NEG Micon | NM82-1500 | 93.6 | 82.0 | Standard | 0.0 | 1500 | 1993 | A | 10 |
| W58 | 14/ BI 16 | Bestand | Nein | - | - | 4473894 | 5759798 | NEG Micon | NM82-1500 | 93.6 | 82.0 | Standard | 0.0 | 1500 | 1993 | A | 10 |
| W59 | 15/ BI 18 | Bestand | Nein | - | - | 4474408 | 5759716 | NEG Micon | NM82-1500 | 93.6 | 82.0 | Standard | 0.0 | 1500 | 1993 | A | 10 |
| W60 | 16/ BI 12 | Bestand | Nein | - | - | 4473036 | 5758866 | NEG Micon | NM72C-1500 | 64.0 | 72.0 | Standard | 0.0 | 1500 | 1993 | A | 10 |
| W61 | 18/ BI 15 | Bestand | Nein | - | - | 4473889 | 5759307 | NEG Micon | NM72C-1500 | 64.0 | 72.0 | Standard | 0.0 | 1500 | 1993 | A | 10 |
| W62 | 19/ BI 17 | Bestand | Nein | - | - | 4474252 | 5759319 | NEG Micon | NM72C-1500 | 64.0 | 72.0 | Standard | 0.0 | 1500 | 1993 | A | 10 |
| W63 | 52-BI 01 | Bestand | Nein | - | - | 4474272 | 5758641 | ENERCON | E-82 E3 / 3.000 kW | 138.5 | 82.0 | BM 0 s | 0.0 | 3000 | 2004 | A | 10 |
| W64 | 53-BI 02 | Bestand | Nein | - | - | 4474131 | 5758233 | ENERCON | E-82 E3 / 3.000 kW | 138.5 | 82.0 | BM 0 s | 0.0 | 3000 | 2004 | A | 10 |
| W65 | 54-BI 03 | Bestand | Nein | - | - | 4474141 | 5757810 | ENERCON | E-82 E3 / 3.000 kW | 138.5 | 82.0 | BM 0 s | 0.0 | 3000 | 2004 | A | 10 |
| W66 | 55-BI 04 | Bestand | Nein | - | - | 4474137 | 5757394 | ENERCON | E-82 E3 / 3.000 kW | 138.5 | 82.0 | BM 0 s | 0.0 | 3000 | 2004 | A | 10 |
| W67 | 56-BI 05 | Bestand | Nein | - | - | 4474812 | 5758754 | ENERCON | E-82 E3 / 3.000 kW | 138.5 | 82.0 | BM 0 s | 0.0 | 3000 | 2004 | A | 10 |
| W68 | 57-BI 06 | Bestand | Nein | - | - | 4474794 | 5758329 | ENERCON | E-82 E3 / 3.000 kW | 138.5 | 82.0 | BM 0 s | 0.0 | 3000 | 2004 | A | 10 |
| W69 | 58-BI 07 | Bestand | Nein | - | - | 4474733 | 5757917 | ENERCON | E-82 E3 / 3.000 kW | 138.5 | 82.0 | BM 0 s | 0.0 | 3000 | 2004 | A | 10 |
| W70 | 59- BI 08 | Bestand | Nein | - | - | 4474695 | 5757521 | ENERCON | E-82 E3 / 3.000 kW | 138.5 | 82.0 | BM 0 s | 0.0 | 3000 | 2004 | A | 10 |
| W71 | 60-BI 09 | Bestand | Nein | - | - | 4474632 | 5757118 | ENERCON | E-82 E3 / 3.000 kW | 138.5 | 82.0 | BM 0 s | 0.0 | 3000 | 2004 | A | 10 |
| W72 | 62- BI 19 | Bestand | Nein | - | - | 4474998 | 5760303 | ENERCON | E-40 / 5.40 | 65.0 | 40.3 | BM 0 | 0.0 | 500 | 1993 | A | 10 |
| W73 | 61- BI 20 | Bestand | Nein | - | - | 4475037 | 5760583 | ENERCON | E-40 / 5.40 | 65.0 | 40.3 | BM 0 | 0.0 | 500 | 1993 | A | 10 |
| W74 | 63- BI 29 | Bestand | Nein | - | - | 4475065 | 5760865 | ENERCON | E-40 / 5.40 | 65.0 | 40.3 | BM 0 | 0.0 | 500 | 1993 | A | 10 |

Tabelle 2.2: Auslegungswindbedingungen der neu geplanten WEA

| Interne W-Nr. | Prüfgrundlage | WZ | GK | v _{ave,TP} [m/s] | k _{TP} [-] | v _{m50,TP} [m/s] | TK | δ _{TP} [°] | α _{TP} [-] | ρ _{TP} [kg/m ³] | Auslegungslbensdauer τ _{TP} [a] | Quelle |
|---------------|---------------|----|----|---------------------------|---------------------|---------------------------|----|---------------------|---------------------|--------------------------------------|--|---------------|
| W1 und W29 | DIBt 2012 | S | S | 7.5 | 2.22 | 37.6 | S | 8.0 | 0.27 | 1.224 | 20 | [24.1] [24.2] |



Neuanlagen
 Bestandsanlagen

 Referenzwindverteilung

Abbildung 2.1: Zu untersuchende Windparkkonfiguration; Kartenmaterial: [19.1, 19.2]

Bericht-Nr.: I17-SE-2021-115 Rev.02

Gutachten zur Standorteignung von WEA nach DIBt 2012 im Windpark Borne-Mitte

3 Vergleich der Windbedingungen

3.1 Grundlagen

Vom Auftraggeber wurden standortbezogene Windverhältnisse, unterteilt in mindestens 12 Sektoren, übermittelt [22.1]. Diese werden als richtig und für den Standort repräsentativ vorausgesetzt.

Um die Windverhältnisse auf Nabenhöhe an jedem Anlagenstandort zu ermitteln, werden die Daten der Windverhältnisse [22.1] auf alle notwendigen Höhen umgerechnet, sofern diese nicht vorliegen. Die Umrechnung erfolgt auf Basis eines logarithmischen Windprofils und des am Standort der Windverteilung ermittelten Höhenexponenten α . Bei der vertikalen Umrechnung wird der Formparameter k als invariant mit der Höhe angenommen und lediglich der Skalenparameter A umgerechnet. Eine horizontale Umrechnung vom Standort der Winddaten zu den jeweiligen WEA Standorten erfolgt nicht. Liegen in [22.1] mehrere Windverteilungen vor, werden diese den jeweiligen WEA zugeordnet. Tabelle 3.1 führt eine der in [22.1] übermittelten Windbedingungen am Standort auf.

Tabelle 3.1: Windverhältnisse am Standort [22.1]

| Höhe: 166 m ü. Grund | | | | A [m/s] | k [-] | p [%] |
|----------------------|---------|------------------|---------|------------|----------|----------|
| GK Bessel Zone 4 | | | | | | |
| X [m] | 4471430 | Y [m] | 5757262 | | | |
| Sektor | | Windrichtung [°] | | | | |
| N | | 0 | | 5.2 | 2.06 | 4.5 |
| NNO | | 30 | | 5.4 | 2.04 | 3.6 |
| ONO | | 60 | | 6.2 | 2.15 | 5.0 |
| O | | 90 | | 7.0 | 2.06 | 6.5 |
| OSO | | 120 | | 8.2 | 2.45 | 7.7 |
| SSO | | 150 | | 6.3 | 2.32 | 7.8 |
| S | | 180 | | 6.1 | 2.08 | 5.7 |
| SSW | | 210 | | 7.3 | 2.24 | 8.2 |
| WSW | | 240 | | 8.7 | 2.16 | 14.3 |
| W | | 270 | | 10.0 | 2.42 | 16.8 |
| WNW | | 300 | | 9.6 | 2.42 | 13.5 |
| NNW | | 330 | | 6.6 | 2.30 | 6.6 |
| Gesamt | | | | 7.9 | 2.03 | 100.2 |
| v_{ave} [m/s] | | | | 7.0 | | |

3.2 Vergleich v_{ave} und v_{m50}

3.2.1 Vergleich der mittleren Windgeschwindigkeit v_{ave}

Liegt der Typenprüfung einer entsprechend Abschnitt 1.2.1 zu untersuchenden WEA ein Formparameter k mit $k = 2.0$ zu Grunde, ist der Vergleich der Windverhältnisse in Bezug auf die mittlere Windgeschwindigkeit v_{ave} auf Nabenhöhe jeder geplanten WEA so zu führen, dass gilt:

- i. $v_{ave, NH} / v_{ave, TP} \leq 0.95$
oder
- ii. $v_{ave, NH} / v_{ave, TP} \leq 1.00$ und $k_{NH} \geq 2.00$

Liegt der Typenprüfung einer entsprechend Abschnitt 1.2.1 zu untersuchenden WEA ein Formparameter k mit $k \neq 2.0$ zu Grunde, ist der Vergleich der Windverhältnisse in Bezug auf die mittlere Windgeschwindigkeit v_{ave} jeder geplanten WEA wie folgt zu führen:

- i. Vergleich der Wahrscheinlichkeitsdichtefunktion der standortspezifischen Windgeschwindigkeiten pdf_{NH} mit der Wahrscheinlichkeitsdichtefunktion der Typenprüfung pdf_{TP} in einem Bereich von $v_{ave} - 2v_{ave}$ nach [6] bzw. $0.2v_{ref} - 0.4v_{ref}$ nach [7]. In dem zu untersuchenden Bereich muss die Bedingung $pdf_{NH} \leq pdf_{TP}$ erfüllt sein.

Das Ergebnis der Berechnung der mittleren Windgeschwindigkeit v_{ave} und der Formparameter k der Weibullverteilung auf Nabenhöhe jeder neu geplanten WEA sind in Tabelle 3.2 dargestellt und werden mit den Auslegungswindbedingungen der jeweiligen WEA verglichen.

Tabelle 3.2: Vergleich der mittleren Windgeschwindigkeit v_{ave} auf Nabenhöhe der geplanten WEA

| Interne W-Nr. | $v_{ave, NH}$ [m/s] | $v_{ave, TP}$ [m/s] | k_{NH} [-] | k_{TP} [-] | Wenn $k_{TP} = 2$: $v_{ave, NH} / v_{ave, TP}$ [-] | Wenn $k_{TP} \neq 2$: $pdf_{NH} \leq pdf_{TP}$ | Nachweis möglich (gemäß 1.2.1) | Lastvergleich erforderlich (gemäß 1.2.3) |
|---------------|---------------------|---------------------|--------------|--------------|--|--|-----------------------------------|---|
| W1 & W29 | 7.03 | 7.50 | 2.03 | 2.22 | - | Ja | Ja | Nein |

3.2.2 Vergleich der 50-Jahres-Windgeschwindigkeit v_{m50}

Der Vergleich der 50-Jahreswindgeschwindigkeit $v_{m50, NH}$ auf Nabenhöhe der geplanten WEA mit dem Auslegungswert kann auf zwei Wegen erfolgen. Wenn die WEA in einer Windzone errichtet werden soll, die niedriger oder gleich der Windzone ist, die der Typenprüfung zu Grunde liegt, reicht der Nachweis, dass die Windzone gemäß Typenprüfung die Windzone des betrachteten Standortes abdeckt [1.1]. Ist dies nicht der Fall, muss nachgewiesen werden, dass die 50-Jahreswindgeschwindigkeit $v_{m50, TP}$ gemäß Typenprüfung die 50-Jahreswindgeschwindigkeit auf Nabenhöhe der geplanten WEA am Standort abdeckt [1.1, 4, 5]. Hierzu muss die 50-Jahreswindgeschwindigkeit $v_{m50, NH}$ mittels einer geeigneten Methode (z.B. der Gumbel-Methode [10]) am Standort ermittelt werden.

Den nachzuweisenden Standorten wird nach DIBt 2012 [1.1], bzw. nach DIN EN 1991-1-4/NA:2010-12 mit DIN EN 1991-1-4:2010-12 [9] die in Tabelle 3.3 aufgeführte Windzone entsprechend [11] und die Geländekategorie, basierend auf den durch den Standortbesuch gewonnenen Erkenntnissen und den verwendeten Satellitendaten [13], zu Grunde gelegt. Da, nach [1.1], in Übergangsbereichen der Geländekategorien stets die Gleichungen der niedrigeren Kategorie anzusetzen sind, wird der Vergleich in solchen Fällen auf Basis der Gleichungen für die niedrigere Geländekategorie durchgeführt.

In der folgenden Tabelle 3.3 werden die Auslegungswindbedingungen hinsichtlich v_{m50} mit den standortspezifischen Windbedingungen verglichen. Wenn die geplanten WEA in einer Windzone errichtet werden sollen, die durch die Auslegungswindbedingungen abgedeckt ist, ist die Standorteignung hinsichtlich v_{m50} nachgewiesen. Ist der Standort nicht durch die Auslegungswindbedingungen $v_{m50, TP}$ der geplanten WEA abgedeckt, erfolgt der Nachweis über eine standortspezifische Extremwindabschätzung [22.2]. Die Ergebnisse der standortspezifischen Extremwindabschätzung werden als richtig und repräsentativ für den Standort vorausgesetzt. Kann

der Nachweis durch keine der beiden Verfahrensweisen erbracht werden, kann der Nachweis ggf. durch einen Lastvergleich der Extremlasten nach Abschnitt 1.2.3 erbracht werden.

Tabelle 3.3: Vergleich der 50-Jahres-Windgeschwindigkeit v_{m50} auf Nabenhöhe der geplanten WEA

| Interne W-Nr. | WZ _{TP} | GK _{TP} | $v_{m50, TP}$ [m/s] | WZ _{NH} | GK _{NH} | $v_{m50, NH}$ [1.1] [m/s] | $v_{m50, NH}$ [22.2] [m/s] | Nachweis möglich (gemäß 1.2.1) | Lastvergleich erforderlich (gemäß 1.2.3) |
|---------------|------------------|------------------|---------------------|------------------|------------------|---------------------------|----------------------------|--------------------------------|--|
| W1 & W29 | S | S | 37.60 | 2 | II | 39.30 | 30.45 | Ja | Nein |

3.3 Vergleich der effektiven Turbulenzintensität I_{eff}

3.3.1 Auslegungswindbedingungen hinsichtlich der Turbulenzintensität

Für die Turbulenzintensität auf Nabenhöhe einer nach der DIBt 2012 [1.1] typengeprüften WEA gibt es windgeschwindigkeitsabhängige Auslegungswerte in fünf Kategorien, welche in der DIN EN IEC 61400-1:2019 [6] aufgeführt sind und der Typenprüfung zu Grunde gelegt werden müssen. Bei den Turbulenzkategorien wird zwischen den vorgegebenen Kategorien A+, A, B, C und der durch den WEA-Hersteller definierbaren Kategorie S unterschieden.

Für WEA die nach der DIBt 2004 [2] typengeprüft sind, muss die windgeschwindigkeitsabhängige Turbulenzkategorie A, welche in der DIN EN 61400-1:2004 [8] definiert ist, als Auslegungswindbedingung hinsichtlich der Turbulenzintensität zu Grunde gelegt sein. Für WEA die nach der DIBt 1993 [3] typengeprüft sind, ist eine konstante, mittlere effektive Turbulenzintensität I_{eff} von 0.20 als Auslegungswindbedingung anzusetzen.

In Tabelle 3.4 sind die unterschiedlichen Turbulenzkategorien und deren Verläufe dargestellt.

Tabelle 3.4: Richtlinienabhängige Auslegungswindbedingungen hinsichtlich der Turbulenzintensität

| V _{hub} [m/s] | DIBt 1993 [3] | DIBt 2004 [2] | DIBt 2012 [1.1] DIN EN IEC 61400-1:2019 [6] | | | | |
|---------------------------|--------------------------|------------------|--|---------------------------|---------------------------|---------------------------|----------|
| | Konstanter Mittelwert | NTM A [8] [-] | NTM A+ [6] [-] | NTM A [5, 6, 7] [-] | NTM B [5, 6, 7] [-] | NTM C [5, 6, 7] [-] | S [-] |
| 2 | | 0.570 | 0.639 | 0.568 | 0.497 | 0.426 | - |
| 3 | | 0.420 | 0.471 | 0.419 | 0.366 | 0.314 | - |
| 4 | | 0.345 | 0.387 | 0.344 | 0.301 | 0.258 | - |
| 5 | | 0.300 | 0.337 | 0.299 | 0.262 | 0.224 | - |
| 6 | | 0.270 | 0.303 | 0.269 | 0.236 | 0.202 | - |
| 7 | | 0.249 | 0.279 | 0.248 | 0.217 | 0.186 | - |
| 8 | | 0.233 | 0.261 | 0.232 | 0.203 | 0.174 | - |
| 9 | | 0.220 | 0.247 | 0.220 | 0.192 | 0.165 | - |
| 10 | | 0.210 | 0.236 | 0.210 | 0.183 | 0.157 | - |
| 11 | | 0.202 | 0.227 | 0.201 | 0.176 | 0.151 | - |
| 12 | | 0.195 | 0.219 | 0.195 | 0.170 | 0.146 | - |
| 13 | | 0.189 | 0.213 | 0.189 | 0.165 | 0.142 | - |
| 14 | | 0.184 | 0.207 | 0.184 | 0.161 | 0.138 | - |
| 15 | | 0.180 | 0.202 | 0.180 | 0.157 | 0.135 | - |
| 16 | - | 0.176 | 0.198 | 0.176 | 0.154 | 0.132 | - |
| 17 | | 0.173 | 0.194 | 0.173 | 0.151 | 0.130 | - |
| 18 | | 0.170 | 0.191 | 0.170 | 0.149 | 0.127 | - |
| 19 | | 0.167 | 0.188 | 0.167 | 0.146 | 0.125 | - |
| 20 | | 0.165 | 0.185 | 0.165 | 0.144 | 0.124 | - |
| 21 | | 0.163 | 0.183 | 0.163 | 0.142 | 0.122 | - |
| 22 | | 0.161 | 0.181 | 0.161 | 0.141 | 0.121 | - |
| 23 | | 0.159 | 0.179 | 0.159 | 0.139 | 0.119 | - |
| 24 | | 0.158 | 0.177 | 0.157 | 0.138 | 0.118 | - |
| 25 | | 0.156 | 0.175 | 0.156 | 0.136 | 0.117 | - |
| 26 | | 0.155 | 0.174 | 0.154 | 0.135 | 0.116 | - |
| 27 | | 0.153 | 0.172 | 0.153 | 0.134 | 0.115 | - |
| 28 | | 0.152 | 0.171 | 0.152 | 0.133 | 0.114 | - |
| 29 | | 0.151 | 0.170 | 0.151 | 0.132 | 0.113 | - |
| 30 | | 0.150 | 0.169 | 0.150 | 0.131 | 0.112 | - |
| Konstanter Mittelwert | 0.200 | - | - | - | - | - | - |

Der Vergleich des standortspezifischen Turbulenzverlaufes mit den windgeschwindigkeitsabhängigen Auslegungswerten erfolgt bei WEA die nach der DIBt 2004 [2] typengeprüft sind, auf Basis der Werte für die Turbulenzkategorie A nach [1.1, 5, 6, 7], da diese die Werte nach [8] mit abdecken.

3.3.2 Ermittlung der Umgebungsturbulenzintensität

3.3.2.1 Datengrundlage

Im Wesentlichen hängt die Umgebungsturbulenz I_{amb} von den Windverhältnissen, der Orographie und der Geländerauigkeit ab. Die Windverhältnisse aus [22.1] enthalten keinerlei Informationen zur Umgebungsturbulenzintensität vor Ort, somit wurde diese auf Basis der vorliegenden Informationen zur Bodenbedeckung [13] und der Topografie [14] am Standort auf Nabenhöhe ermittelt.

3.3.2.2 Vorgehensweise

Die Umgebungsturbulenzintensität I_{amb} beschreibt im Allgemeinen die Schwankung der Windgeschwindigkeit in einem Zeitintervall von 600 s um ihren Mittelwert. Sie ist als der Quotient aus der Standardabweichung σ der Windgeschwindigkeit und der zugehörigen mittleren Windgeschwindigkeit v_{ave} in einem 600 s Intervall zu bilden [6, 7, 8]. Liegen Daten einer Windmessung am Standort vor, kann I_{amb} direkt, bzw. I_{char} durch Addition der 1fachen Standardabweichung der Umgebungsturbulenzintensität σ_σ [4, 8] und I_{rep} durch Addition der 1.28fachen Standardabweichung der Umgebungsturbulenzintensität σ_σ [6, 7] zu I_{amb} ermittelt werden. Durch Ermittlung der Windscherung, kann die auf Messhöhe ermittelte charakteristische, bzw. repräsentative Turbulenzintensität auf Nabenhöhe extrapoliert werden. Liegt keine Messung vor, muss die Umgebungsturbulenzintensität rechnerisch ermittelt werden.

Zur Berechnung von I_{amb} werden an jedem zu untersuchenden WEA Standort die flächenmäßigen Informationen zur Bodenbedeckung aus dem CORINE Datensatz [13] mit 20 km Radius um den Standort zu Grunde gelegt. Die in [13] enthaltenen Flächen verschiedener Bodenbedeckung werden nach den Empfehlungen des Europäischen Wind Atlas [12] in Flächen mit einer Rauigkeitslänge z_0 konvertiert. Alle innerhalb eines Sektors liegenden Rauigkeitselemente werden abschließend nach Abstand und Größe gewichtet und in einen, für diesen Sektor, repräsentativen Rauigkeitswert umgerechnet. Aus den sektoriell vorliegenden Rauigkeitslängen wird mittels eines von der Rauigkeitslänge z_0 abhängigen Profils die Umgebungsturbulenzintensität auf Nabenhöhe der jeweiligen WEA berechnet.

Da in der Richtlinie des Deutschen Instituts für Bautechnik DIBt 2012 [1.1] für die Ermittlung der Standorteignung bezüglich der effektiven Turbulenzintensitäten Turbulenzwerte für verschiedene Windgeschwindigkeiten gefordert sind, wird den ermittelten Werten für die Umgebungsturbulenzintensität das NTM nach [6, 7] zu Grunde gelegt. Der ermittelten Turbulenzkurve wird in Anlehnung an das vom Risø DTU National Laboratory entwickelte Verfahren im Windfarm Assessment Tool eine windgeschwindigkeitsabhängige Standardabweichung σ_σ unterstellt, die ebenfalls dem NTM Verlauf folgt [15]. Die Werte für die Standardabweichung der Umgebungsturbulenzintensität σ_σ sind so gewählt, dass die Summe aus der Referenzsturbulenzintensität nach NTM und dem 1fachen σ_σ die Referenzkurve nach [6, 7] ergibt.

Die repräsentative Turbulenzintensität I_{rep} wird nach dem beschriebenen Verfahren für jede zu betrachtende, nach DIBt 2012 [1.1] typen-/einzelgeprüfte, WEA auf Nabenhöhe ermittelt und den weiteren Berechnungen zu Grunde gelegt. Für Anlagen, deren Typen-/Einzelprüfung auf der Richtlinie DIBt 2004 [2] oder DIBt 1993 [3] basiert, findet die charakteristische Turbulenzintensität I_{char} Anwendung.

3.3.2.3 Untersuchung der topografischen Komplexität der Anlagenstandorte

Das verwendete Höhenmodell aus dem SRTM Datensatz [14] liegt in einer Auflösung von ca. 30 m vor und wird für die Ermittlung der topografischen Komplexität der Standorte herangezogen.

Die Standorte aller zu betrachtenden Anlagen werden basierend auf den Vorgaben der geltenden Norm DIN EN IEC 61400-1:2019 [6] auf topografische Komplexität untersucht und bewertet, da die topografische Komplexität eine Verzerrung und damit eine Abweichung der Turbulenzstruktur von den Auslegungswindbedingungen verursachen kann.

Die Komplexität eines Standortes wird durch die Neigung des Geländes und die Abweichungen der Topografie des Geländes von einer angenäherten Ebene dargestellt. Dazu werden mindestens 37 Ausgleichsebenen entsprechend der Kriterien aus [6] mittels der Methode der kleinsten Fehlerquadrate gebildet. Die DIN EN IEC 61400-1:2019 [6] lässt die Möglichkeit offen, die angenäherte Ebene für die Kreissektoren mit dem Radius $5 z_{hub}$ leewärts zur Position der zu untersuchenden WEA um $2 z_{hub}$ zu erweitern. Diese Erweiterung wird bei der Komplexitätsbewertung im vorliegenden Gutachten angewendet. In Abhängigkeit der Neigung der angenäherten Ebenen, der Abweichung des digitalen Geländemodells [14] von dieser und des Anteils der Windenergie aus dem betrachteten Sektor, lassen sich die Indizes TSI für die Geländeneigung und TVI für die Geländeabweichung berechnen. Überschreitet einer der berechneten Indizes die in Tabelle 3.5 aufgeführten Schwellenwerte, ist der untersuchte Standort als topografisch komplex zu bewerten, wobei der jeweils überschrittene Schwellenwert die Geländekomplexitätskategorie L, M oder H bestimmt.

Nach [6] hat an topografisch komplexen Standorten eine Erhöhung der longitudinalen Komponente der Umgebungsturbulenzintensität durch Multiplikation mit einem Turbulenzstrukturparameter C_{CT} gemäß Tabelle 3.5 zu erfolgen.

Tabelle 3.5: Komplexitätskriterien und C_{CT} nach DIN EN IEC 61400-1:2019 [6]

| Radius der Kreisfläche um die WEA [m] | Sektoramplitude der angenäherten Ausgleichsebene [°] | Schwellenwerte (untere Grenze) | | | | | |
|---------------------------------------|--|------------------------------------|----|----|---------------------------------------|---|---|
| | | Index der Geländeneigung TSI [°] | | | Index der Geländeabweichung TVI [%] | | |
| | | L | M | H | L | M | H |
| $5 z_{hub}$ | 360 | 10 | 15 | 20 | 2 | 4 | 6 |
| $5 z_{hub}$ | 30 | | | | | | |
| $10 z_{hub}$ | | | | | | | |
| $10 z_{hub}$ | | | | | | | |
| | | Kategorie | | | | | |
| | L | M | | | H | | |
| C_{CT} | 1.05 | 1.10 | | | 1.15 | | |

Die Ergebnisse der Bewertung der topografischen Komplexität der zu untersuchenden WEA können Tabelle 2.1 entnommen werden.

3.3.2.4 Repräsentative Turbulenzintensität

In Tabelle 3.6 werden die sektoriell nach dem in Abschnitt 3.3.2.2 beschriebenen Verfahren ermittelten, repräsentativen Turbulenzintensitäten, bezogen auf eine Windgeschwindigkeit von 15 m/s, für eine Anlagenposition aufgeführt.

Tabelle 3.6: Repräsentative Turbulenzintensität für einen Standort

| Standort: W1 | NH: 169 m | I_{rep} [-] |
|--------------|------------------|------------------|
| Sektor | Windrichtung [°] | |
| N | 0 | 0.118 |
| NNO | 30 | 0.117 |
| ONO | 60 | 0.120 |
| O | 90 | 0.109 |
| OSO | 120 | 0.110 |
| SSO | 150 | 0.112 |
| S | 180 | 0.115 |
| SSW | 210 | 0.110 |
| WSW | 240 | 0.117 |
| W | 270 | 0.110 |
| WNW | 300 | 0.107 |
| NNW | 330 | 0.111 |

3.3.3 Ermittlung der effektiven Turbulenzintensität I_{eff}

3.3.3.1 Grundlagen

Die effektive Turbulenzintensität I_{eff} ist definiert als die mittlere Turbulenzintensität, die über die Lebensdauer einer WEA dieselbe Materialermüdung verursacht, wie die am Standort herrschenden, verschiedenen Turbulenzen. Die Materialkennzahl, die maßgeblich in die Berechnung der effektiven Turbulenzintensität einfließt, ist der Wöhlerlinienkoeffizient m . Im vorliegenden Gutachten liegt jeder zu betrachtenden WEA der anlagenspezifische Wöhlerlinienkoeffizient zu Grunde, der die strukturschwächste Komponente repräsentiert. Hierbei handelt es sich im Regelfall um die Rotorblätter einer WEA, welche durch Wöhlerlinienkoeffizienten zwischen $m = 10$ für glasfaserverstärkte Verbundwerkstoffe und $m = 15$ für kohlefaserverstärkte Verbundwerkstoffe abgedeckt werden. Dadurch werden alle Komponenten einer WEA in die Betrachtung mit einbezogen.

Grundsätzlich setzt sich die effektive Turbulenzintensität I_{eff} an einer WEA aus der Umgebungsturbulenzintensität und der durch den Nachlauf anderer WEA induzierten Turbulenzintensität, dem sogenannten „Wake-Effekt“, zusammen. Hierbei sind je nach zu Grunde gelegter Richtlinie unterschiedliche Berücksichtigungen der Standardabweichung der Umgebungsturbulenzintensität σ_σ zu berücksichtigen.

Die Berechnung der induzierten Turbulenzintensität erfolgt nach den Ausarbeitungen in [10], Kapitel 2.4.4, wenn alle hierfür erforderlichen Anlagenparameter vorliegen oder konservativ abdeckend ermittelt werden konnten. Andernfalls erfolgt die Berechnung der induzierten Turbulenzintensität nach den Ausarbeitungen in [16], sowie den informativen Anhängen in [6] und [7]. Die generelle Vorgehensweise zur Ermittlung der effektiven Turbulenzintensität I_{eff} erfolgt in beiden Fällen entsprechend den Anforderungen aus [6] und [7].

Die induzierte Turbulenzintensität wird in [10] als eine Funktion beschrieben, die von den Abständen der WEA untereinander, der Umgebungsturbulenzintensität und von anlagenspezifischen Kenngrößen abhängig ist. Diese Kenngrößen sind einerseits der windgeschwindigkeitsabhängige Schubbeiwert c_t , als auch die windgeschwindigkeitsabhängige Schnelllaufzahl λ der turbulenzinduzierenden WEA. Das Modell bildet sowohl den voll ausgebildeten Nachlauf als auch den nicht voll ausgebildeten Nachlauf

hinter einer WEA ab. Die anlagenspezifischen Werte c_t und λ sind vom Anlagenhersteller übermittelt. Wenn für eine zu betrachtende WEA diese Werte nicht vorliegen, werden Sie, wenn möglich, auf Basis der Anlagenparameter wie Drehzahl und Rotordurchmesser ermittelt, oder durch eine konservativ abdeckende Standardkurve ersetzt. Der Ermittlung von I_{eff} werden die am Standort herrschenden geometrischen Verhältnisse, sowie die am Standort herrschenden Windbedingungen zu Grunde gelegt. Da in [10] keine Aussage zum berücksichtigenden Einflussbereich der WEA untereinander getroffen wird, werden sowohl die Bereiche im Volleinfluss (Rotor der WEA steht voll im Nachlauf einer anderen WEA), als auch die Bereiche im Teileinfluss (Rotor der WEA steht nur teilweise im Nachlauf einer anderen WEA) bei der Berechnung von I_{eff} berücksichtigt, was somit den konservativsten Ansatz darstellt.

Die induzierte Turbulenzintensität wird in [16] als eine Funktion beschrieben, die von den Abständen s der WEA untereinander und vom windgeschwindigkeitsabhängigen Schubbeiwert c_t abhängig ist. Die anlagenspezifischen c_t Werte sind vom Anlagenhersteller übermittelt. Wenn für eine zu betrachtende WEA diese Werte nicht vorliegen, werden Sie durch eine konservativ abdeckende Standardkurve ersetzt. Der Ermittlung von I_{eff} werden die am Standort herrschenden geometrischen Verhältnisse, sowie die am Standort herrschenden Windbedingungen zu Grunde gelegt. Da in [16] eine eindeutige Aussage zum berücksichtigenden Einflussbereich der WEA untereinander getroffen wird, wird genau dieser Bereich bei der Berechnung von I_{eff} berücksichtigt.

Die Ermittlung der induzierten Turbulenzintensität muss durchgeführt werden, solange sich eine WEA in einem Abstand s kleiner $10 D$ von der zu betrachtenden Anlage befindet [6, 7, 8]. Ist der Abstand s aller WEA im Umfeld grösser $10 D$, bezogen auf die jeweils turbulenzinduzierende WEA, muss deren Einfluss nicht mehr berücksichtigt werden.

In keiner der zu Grunde gelegten Richtlinien und Normen [1.1 - 8] werden hinsichtlich des Abstandes s von WEA Grenzen definiert, bis zu welchen die Ergebnisse der effektiven Turbulenzintensitäten I_{eff} anwendbar oder belastbar sind. Dasselbe gilt für die in [10] und [16] beschriebenen Turbulenzmodelle. Verschiedene Untersuchungen und Ausarbeitungen haben gezeigt, dass die Turbulenzmodelle auch bei geringen relativen Abständen s im Bereich $3 D \geq s \geq 2 D$ konservative Ergebnisse liefern und belastbar sind. Diese Ergebnisse können sowohl für einen Vergleich der Windbedingungen entsprechend Abschnitt 1.2.1 als auch für einen Nachweis gemäß 1.2.3 herangezogen werden. Die Ergebnisse der ermittelten, effektiven Turbulenzintensitäten bei Anlagenabständen s von unter $2.0 D$ sollten nicht mehr für eine standortspezifische Lastrechnung (siehe Abschnitt 1.2.3) herangezogen werden. In diesen Nachlaufsituationen ist eine Abschaltung erforderlich.

Die ermittelten Werte für I_{eff} werden den Auslegungswerten, die der Typen-/Einzelprüfung der betrachteten Anlage zu Grunde liegen, gegenübergestellt. Liegen die ermittelten Werte nicht oberhalb der Auslegungswerte, gilt eine Standorteignung hinsichtlich der effektiven Turbulenzintensität als nachgewiesen. Liegen die Werte über den Auslegungswerten, kann eine Standorteignung hinsichtlich der effektiven Turbulenzintensität nicht durch den Vergleich mit den Auslegungswerten nachgewiesen werden. Der Nachweis der Standorteignung kann in diesem Fall jedoch durch eine standortspezifische Lastrechnung seitens des Anlagenherstellers oder eines unabhängigen Dritten erfolgen.

3.3.3.2 Berücksichtigte sektorielle Betriebsbeschränkungen (WSM)

Bei der Berechnung der effektiven Turbulenzintensität I_{eff} können sektorielle Betriebsbeschränkungen (WSM) an WEA berücksichtigt werden. Die Betriebsbeschränkungen können sich aus beispielsweise zu geringen Abständen s ergeben, oder Bestandteil der Genehmigung bereits bestehender WEA sein. Des Weiteren kann ein WSM dafür genutzt werden, den Einfluss einer neu geplanten WEA auf den zu berücksichtigenden Bestand derart zu reduzieren, dass die geplante WEA keinen signifikanten Einfluss mehr auf die effektive Turbulenzintensität I_{eff} einer Bestandsanlage hat oder um Überschreitungen der effektiven Turbulenzintensität I_{eff} an dieser zu verhindern. Die im Folgenden aufgeführten Betriebsbeschränkungen stellen immer eine Mindestanforderung dar, deren technische Umsetzbarkeit nicht geprüft wurde. Wenn möglich, wird für jedes WSM an einer beeinflussenden WEA ein alternatives WSM an der beeinflussten WEA ausgewiesen. Hierbei handelt es sich in der Regel um eine Abschaltung an der beeinflussten WEA, da die Lasten an einer abgeschalteten WEA geringer sind als die Lasten im frei angeströmten Betrieb. Die ausgewiesenen Alternativen stellen einen Vorschlag dar, werden aber nicht in der Berechnung der effektiven Turbulenzintensität I_{eff} berücksichtigt. Soll eine ausgewiesene Alternative berücksichtigt werden, erfordert dies eine neue Bewertung hinsichtlich der effektiven Turbulenzintensität I_{eff} .

Aufgrund des geringen Abstands zwischen einzelner Neuanlagen und Bestandsanlagen von unter 2.0 D ist die folgende sektorielle Abschaltung notwendig und wird bei der Ermittlung der effektiven Turbulenzintensität I_{eff} berücksichtigt.

Tabelle 3.7: Berücksichtigte Betriebsbeschränkung zum Schutz von W32

| WEA | Start WSM [°] | Ende WSM [°] | Betriebsmodus | Windgeschwindigkeitsbereich [m/s] |
|-----------------|---------------|--------------|---------------|-----------------------------------|
| W1 | 162 | 228 | Abschaltung | Alle |
| Alternativ: W32 | 162 | 228 | Abschaltung | Alle |

3.3.3.3 Ergebnis

Die folgende Tabelle 3.8 stellt die ermittelten effektiven Turbulenzintensitäten vor Zubau der geplanten WEA in Abhängigkeit der Windgeschwindigkeit dar. Aufgeführt werden nur Bestands-WEA, für die ein Vergleich der Situation vor mit der Situation nach dem geplanten Zubau durchgeführt wird. Tabelle 3.9 bis Tabelle 3.11 stellen die ermittelten effektiven Turbulenzintensitäten nach Zubau der geplanten WEA in Abhängigkeit von der Windgeschwindigkeit und unter Berücksichtigung der in Abschnitt 3.3.3.2 ausgewiesenen sektoriellen Betriebsbeschränkungen dar. Die nach der jeweils zu Grunde gelegten Richtlinie ermittelten effektiven Turbulenzintensitäten werden der Referenzkurve nach DIBt 2012 [1.1] oder der Referenzkurve der jeweiligen Typenprüfung gegenübergestellt. Überschreitungen sind **fett kursiv** dargestellt. Für WEA die nach der Richtlinie DIBt 1993 [3] typengeprüft sind, ist nur die mittlere konstante effektive Turbulenzintensität am unteren Ende der Tabelle relevant.

Tabelle 3.8: Ermittelte effektive Turbulenzintensitäten I_{eff} (vor Zubau)

| v_{hub} | W27[A] | W28[A] | Referenz Klasse A |
|-----------|--------------|--------------|-------------------|
| 3 | 0.335 | 0.365 | 0.419 |
| 4 | 0.289 | 0.313 | 0.344 |
| 5 | 0.263 | 0.282 | 0.299 |
| 6 | 0.244 | 0.260 | 0.269 |
| 7 | 0.236 | 0.247 | 0.248 |
| 8 | 0.221 | 0.230 | 0.232 |
| 9 | 0.215 | 0.221 | 0.220 |
| 10 | 0.209 | 0.213 | 0.210 |
| 11 | 0.204 | 0.206 | 0.201 |
| 12 | 0.162 | 0.169 | 0.195 |
| 13 | 0.148 | 0.150 | 0.189 |
| 14 | 0.138 | 0.139 | 0.184 |
| 15 | 0.130 | 0.131 | 0.180 |
| 16 | 0.124 | 0.125 | 0.176 |
| 17 | 0.120 | 0.120 | 0.173 |
| 18 | 0.115 | 0.116 | 0.170 |
| 19 | 0.112 | 0.113 | 0.167 |
| 20 | 0.109 | 0.110 | 0.165 |
| 21 | 0.106 | 0.107 | 0.163 |
| 22 | 0.104 | 0.105 | 0.161 |
| 23 | 0.103 | 0.104 | 0.159 |
| 24 | 0.102 | 0.102 | 0.157 |
| 25 | 0.100 | 0.101 | 0.156 |

Tabelle 3.9: Ermittelte effektive Turbulenzintensitäten I_{eff} (nach Zubau) – Teil 1

| v_{hub} | W1[S] | W29[S] | W3[A] | W4[A] | W6[A] | W7[A] | W8[A] | W9[A] | W12[A] | W13[A] | W14[A] | Referenz Klasse S | Referenz Klasse A |
|-----------|-------|--------|-------|-------|-------|-------|-------|-------|--------|--------|--------|-------------------|-------------------|
| 3 | 0.382 | 0.282 | - | - | - | 0.336 | 0.346 | 0.386 | 0.281 | 0.336 | 0.360 | 0.390 | 0.419 |
| 4 | 0.326 | 0.233 | 0.275 | 0.283 | 0.303 | 0.298 | 0.306 | 0.327 | 0.234 | 0.293 | 0.310 | 0.360 | 0.344 |
| 5 | 0.292 | 0.205 | 0.245 | 0.254 | 0.277 | 0.271 | 0.278 | 0.292 | 0.206 | 0.265 | 0.279 | 0.334 | 0.299 |
| 6 | 0.267 | 0.185 | 0.224 | 0.234 | 0.256 | 0.252 | 0.259 | 0.266 | 0.187 | 0.245 | 0.257 | 0.307 | 0.269 |
| 7 | 0.246 | 0.170 | 0.208 | 0.230 | 0.236 | 0.257 | 0.255 | 0.244 | 0.172 | 0.227 | 0.237 | 0.284 | 0.248 |
| 8 | 0.227 | 0.158 | 0.193 | 0.210 | 0.218 | 0.229 | 0.232 | 0.223 | 0.160 | 0.213 | 0.221 | 0.265 | 0.232 |
| 9 | 0.213 | 0.148 | 0.183 | 0.202 | 0.203 | 0.222 | 0.227 | 0.208 | 0.151 | 0.206 | 0.212 | 0.252 | 0.220 |
| 10 | 0.199 | 0.140 | 0.173 | 0.195 | 0.188 | 0.216 | 0.222 | 0.194 | 0.144 | 0.198 | 0.203 | 0.229 | 0.210 |
| 11 | 0.187 | 0.133 | 0.165 | 0.189 | 0.175 | 0.197 | 0.203 | 0.181 | 0.137 | 0.180 | 0.187 | 0.207 | 0.201 |
| 12 | 0.151 | 0.123 | 0.135 | 0.164 | 0.138 | 0.175 | 0.179 | 0.150 | 0.123 | 0.152 | 0.158 | 0.187 | 0.195 |
| 13 | 0.130 | 0.119 | 0.127 | 0.146 | 0.127 | 0.159 | 0.161 | 0.135 | 0.116 | 0.135 | 0.138 | 0.169 | 0.189 |
| 14 | 0.122 | 0.115 | 0.121 | 0.137 | 0.121 | 0.147 | 0.149 | 0.127 | 0.112 | 0.124 | 0.126 | 0.160 | 0.184 |
| 15 | 0.116 | 0.112 | 0.117 | 0.131 | 0.117 | 0.138 | 0.140 | 0.122 | 0.108 | 0.116 | 0.118 | 0.154 | 0.180 |
| 16 | 0.112 | 0.110 | 0.115 | 0.125 | 0.115 | 0.131 | 0.133 | 0.118 | 0.106 | 0.110 | 0.112 | 0.149 | 0.176 |
| 17 | 0.110 | 0.108 | 0.112 | 0.121 | 0.112 | 0.125 | 0.127 | 0.115 | 0.103 | 0.106 | 0.108 | 0.145 | 0.173 |
| 18 | 0.107 | 0.106 | 0.110 | 0.117 | 0.110 | 0.121 | 0.123 | 0.113 | 0.101 | 0.103 | 0.105 | 0.142 | 0.170 |
| 19 | 0.105 | 0.104 | 0.108 | 0.114 | 0.109 | 0.117 | 0.119 | 0.111 | 0.100 | 0.101 | 0.102 | 0.139 | 0.167 |
| 20 | 0.103 | 0.103 | 0.107 | 0.112 | 0.107 | 0.114 | 0.116 | 0.109 | 0.098 | 0.099 | 0.100 | 0.137 | 0.165 |
| 21 | 0.102 | 0.102 | 0.106 | 0.110 | 0.106 | - | - | - | 0.097 | 0.098 | 0.099 | 0.137 | 0.163 |
| 22 | 0.100 | 0.100 | 0.104 | 0.107 | 0.105 | - | - | - | 0.096 | 0.096 | 0.097 | 0.135 | 0.161 |
| 23 | 0.099 | 0.099 | 0.103 | 0.106 | 0.104 | - | - | - | 0.095 | 0.095 | 0.096 | 0.133 | 0.159 |
| 24 | 0.098 | 0.098 | 0.103 | 0.105 | 0.103 | - | - | - | 0.094 | 0.094 | 0.095 | 0.131 | 0.157 |
| 25 | - | - | 0.102 | 0.103 | 0.102 | - | - | - | 0.093 | 0.093 | 0.094 | 0.130 | 0.156 |
| DIBt 1993 | - | - | 0.166 | 0.178 | 0.185 | 0.191 | 0.195 | 0.193 | - | - | - | - | 0.200 |

Tabelle 3.10: Ermittelte effektive Turbulenzintensitäten I_{eff} (nach Zubau) – Teil 2

| v_{hub} | W15[A] | W16[A] | W17[A] | W18[A] | W19[A] | W20[A] | W24[A] | W25[A] | W26[A] | W27[A] | W28[A] | Referenz Klasse A |
|-----------|--------|--------|--------|--------|--------|--------|--------|--------|--------|--------------|--------------|-------------------|
| 3 | 0.369 | 0.356 | 0.314 | 0.332 | 0.319 | 0.362 | 0.344 | 0.323 | 0.294 | 0.335 | 0.365 | 0.419 |
| 4 | 0.315 | 0.303 | 0.267 | 0.282 | 0.271 | 0.311 | 0.291 | 0.275 | 0.249 | 0.289 | 0.313 | 0.344 |
| 5 | 0.284 | 0.276 | 0.245 | 0.258 | 0.248 | 0.282 | 0.260 | 0.247 | 0.230 | 0.263 | 0.282 | 0.299 |
| 6 | 0.262 | 0.256 | 0.228 | 0.241 | 0.230 | 0.260 | 0.237 | 0.227 | 0.215 | 0.244 | 0.260 | 0.269 |
| 7 | 0.243 | 0.236 | 0.214 | 0.225 | 0.213 | 0.242 | 0.218 | 0.211 | 0.201 | 0.236 | 0.247 | 0.248 |
| 8 | 0.226 | 0.220 | 0.201 | 0.212 | 0.198 | 0.225 | 0.200 | 0.198 | 0.189 | 0.221 | 0.230 | 0.232 |
| 9 | 0.214 | 0.205 | 0.190 | 0.200 | 0.185 | 0.212 | 0.188 | 0.188 | 0.178 | 0.215 | 0.221 | 0.220 |
| 10 | 0.202 | 0.187 | 0.178 | 0.185 | 0.170 | 0.200 | 0.176 | 0.180 | 0.163 | 0.209 | 0.213 | 0.210 |
| 11 | 0.192 | 0.172 | 0.168 | 0.171 | 0.159 | 0.188 | 0.166 | 0.172 | 0.150 | 0.204 | 0.206 | 0.201 |
| 12 | 0.151 | 0.144 | 0.145 | 0.146 | 0.144 | 0.151 | 0.139 | 0.144 | 0.135 | 0.162 | 0.169 | 0.195 |
| 13 | 0.134 | 0.134 | 0.133 | 0.134 | 0.137 | 0.127 | 0.126 | 0.129 | 0.127 | 0.148 | 0.150 | 0.189 |
| 14 | 0.125 | 0.127 | 0.125 | 0.127 | 0.130 | 0.117 | 0.119 | 0.121 | 0.121 | 0.138 | 0.139 | 0.184 |
| 15 | 0.119 | 0.122 | 0.120 | 0.121 | 0.125 | 0.112 | 0.114 | 0.116 | 0.116 | 0.130 | 0.131 | 0.180 |
| 16 | 0.114 | 0.117 | 0.115 | 0.116 | 0.119 | 0.108 | 0.111 | 0.112 | 0.112 | 0.124 | 0.125 | 0.176 |
| 17 | 0.110 | 0.113 | 0.111 | 0.112 | 0.115 | 0.105 | 0.107 | 0.108 | 0.109 | 0.120 | 0.120 | 0.173 |
| 18 | 0.107 | 0.110 | 0.108 | 0.109 | 0.112 | 0.103 | 0.105 | 0.105 | 0.106 | 0.115 | 0.116 | 0.170 |
| 19 | 0.104 | 0.107 | 0.106 | 0.106 | 0.108 | 0.101 | 0.103 | 0.103 | 0.104 | 0.112 | 0.113 | 0.167 |
| 20 | 0.102 | 0.105 | 0.103 | 0.103 | 0.106 | 0.099 | 0.101 | 0.101 | 0.102 | 0.109 | 0.110 | 0.165 |
| 21 | 0.101 | 0.103 | 0.101 | 0.101 | 0.104 | 0.098 | 0.099 | 0.100 | 0.100 | 0.106 | 0.107 | 0.163 |
| 22 | 0.099 | 0.102 | 0.099 | 0.099 | 0.102 | 0.097 | 0.097 | 0.098 | 0.098 | 0.104 | 0.105 | 0.161 |
| 23 | 0.098 | 0.100 | 0.098 | 0.098 | 0.101 | 0.096 | 0.096 | 0.097 | 0.097 | 0.103 | 0.104 | 0.159 |
| 24 | 0.097 | 0.099 | 0.097 | 0.096 | 0.100 | 0.095 | 0.095 | 0.096 | 0.096 | 0.102 | 0.102 | 0.157 |
| 25 | 0.096 | 0.098 | 0.095 | 0.094 | 0.099 | 0.094 | 0.094 | 0.095 | 0.095 | 0.100 | 0.101 | 0.156 |

Tabelle 3.11: Ermittelte effektive Turbulenzintensitäten I_{eff} (nach Zubau) – Teil 3

| v_{hub} | W30[A] | W31[A] | W32[A] | W33[A] | W34[A] | W36[A] | W37[A] | W38[A] | W39[A] | W40[A] | W41[A] | Referenz Klasse A |
|-----------|--------|--------|--------|--------|--------|--------|--------|--------|--------|--------|--------|-------------------|
| 3 | 0.365 | 0.356 | 0.309 | 0.376 | 0.346 | 0.292 | 0.344 | 0.348 | 0.349 | 0.346 | 0.323 | 0.419 |
| 4 | 0.312 | 0.312 | 0.260 | 0.322 | 0.294 | 0.244 | 0.293 | 0.295 | 0.299 | 0.295 | 0.276 | 0.344 |
| 5 | 0.280 | 0.279 | 0.232 | 0.290 | 0.263 | 0.216 | 0.264 | 0.263 | 0.269 | 0.265 | 0.251 | 0.299 |
| 6 | 0.257 | 0.255 | 0.212 | 0.267 | 0.239 | 0.197 | 0.242 | 0.240 | 0.247 | 0.242 | 0.234 | 0.269 |
| 7 | 0.238 | 0.233 | 0.197 | 0.247 | 0.236 | 0.182 | 0.226 | 0.223 | 0.235 | 0.224 | 0.221 | 0.248 |
| 8 | 0.221 | 0.216 | 0.184 | 0.229 | 0.207 | 0.170 | 0.211 | 0.205 | 0.215 | 0.208 | 0.210 | 0.232 |
| 9 | 0.209 | 0.206 | 0.176 | 0.216 | 0.193 | 0.161 | 0.201 | 0.194 | 0.202 | 0.196 | 0.204 | 0.220 |
| 10 | 0.199 | 0.196 | 0.169 | 0.204 | 0.180 | 0.153 | 0.192 | 0.183 | 0.190 | 0.184 | 0.199 | 0.210 |
| 11 | 0.187 | 0.182 | 0.163 | 0.192 | 0.168 | 0.146 | 0.184 | 0.175 | 0.179 | 0.174 | 0.194 | 0.201 |
| 12 | 0.150 | 0.154 | 0.137 | 0.149 | 0.142 | 0.126 | 0.155 | 0.150 | 0.147 | 0.142 | 0.153 | 0.195 |
| 13 | 0.133 | 0.137 | 0.127 | 0.129 | 0.127 | 0.118 | 0.136 | 0.134 | 0.128 | 0.125 | 0.139 | 0.189 |
| 14 | 0.123 | 0.128 | 0.121 | 0.119 | 0.119 | 0.113 | 0.126 | 0.126 | 0.119 | 0.118 | 0.130 | 0.184 |
| 15 | 0.117 | 0.121 | 0.116 | 0.113 | 0.113 | 0.109 | 0.120 | 0.121 | 0.114 | 0.113 | 0.123 | 0.180 |
| 16 | 0.112 | 0.116 | 0.112 | 0.108 | 0.109 | 0.106 | 0.115 | 0.116 | 0.110 | 0.109 | 0.118 | 0.176 |
| 17 | 0.108 | 0.112 | 0.109 | 0.105 | 0.106 | 0.104 | 0.111 | 0.113 | 0.107 | 0.107 | 0.113 | 0.173 |
| 18 | 0.105 | 0.109 | 0.106 | 0.103 | 0.104 | 0.102 | 0.108 | 0.110 | 0.104 | 0.104 | 0.109 | 0.170 |
| 19 | 0.103 | 0.106 | 0.104 | 0.101 | 0.102 | 0.100 | 0.106 | 0.107 | 0.102 | 0.102 | 0.107 | 0.167 |
| 20 | 0.101 | 0.104 | 0.102 | 0.099 | 0.100 | 0.099 | 0.103 | 0.105 | 0.101 | 0.101 | 0.105 | 0.165 |
| 21 | 0.100 | 0.102 | 0.100 | 0.098 | 0.098 | 0.098 | 0.100 | 0.100 | 0.099 | 0.099 | 0.102 | 0.163 |
| 22 | 0.098 | 0.100 | 0.099 | 0.097 | 0.097 | 0.097 | 0.098 | 0.098 | 0.098 | 0.098 | 0.100 | 0.161 |
| 23 | 0.097 | 0.098 | 0.098 | 0.096 | 0.096 | 0.096 | 0.097 | 0.097 | 0.097 | 0.097 | 0.099 | 0.159 |
| 24 | 0.096 | 0.097 | 0.096 | 0.095 | 0.095 | 0.095 | 0.096 | 0.096 | 0.096 | 0.096 | 0.098 | 0.157 |
| 25 | 0.095 | 0.096 | 0.095 | 0.094 | 0.094 | 0.094 | 0.095 | 0.095 | 0.095 | 0.095 | 0.096 | 0.156 |

3.4 Schräganströmung δ

Da es sich bei keinem Anlagenstandort einer nach DIBt 2012 typengeprüften neu geplanten Anlage um einen nach DIN EN IEC 61400-1:2019 [6] topografisch komplexen Standort handelt, sind die Nachweise nach Abschnitt 1.2.2 nicht zu führen. Die Ausweisung der Werte erfolgt rein informativ und ein Vergleich mit den Auslegungswindbedingungen erfolgt im vorliegenden Gutachten nicht. Die Werte können jedoch einer eventuell erforderlichen Lastrechnung durch den Anlagenhersteller zu Grunde gelegt werden.

Die Ermittlung der Schräganströmung δ_{NH} erfolgt gemäß [6] und entspricht der Neigung der angenäherten Ebene mit einem Radius $5 z_{hub}$ vor der WEA und $2 z_{hub}$ hinter der WEA gegenüber der horizontalen Mittelgeraden des betrachteten Sektors.

Die folgende Tabelle 3.12 stellt die Ergebnisse der ermittelten Schräganströmung δ_{NH} dar.

Tabelle 3.12 Standortmittelwert der Schräganströmung δ_{NH} der neu geplanten WEA

| Interne W-Nr. | δ_{NH} [°] |
|---------------|-------------------|
| W1 | 0.1 |
| W29 | 0.0 |

3.5 Höhenexponent α

Da es sich bei keinem Anlagenstandort einer nach DIBt 2012 typengeprüften neu geplanten Anlage um einen nach DIN EN IEC 61400-1:2019 [6] topografisch komplexen Standort handelt, sind die Nachweise nach Abschnitt 1.2.2 nicht zu führen. Die Ausweisung der Werte erfolgt rein informativ und ein Vergleich mit den Auslegungswindbedingungen erfolgt im vorliegenden Gutachten nicht. Die Werte können jedoch einer eventuell erforderlichen Lastrechnung durch den Anlagenhersteller zu Grunde gelegt werden.

Die Ermittlung des Höhenexponenten erfolgt entsprechend der DIN EN IEC 61400-1:2019 [6] auf Basis der ermittelten Rauigkeiten am Standort. Einflüsse der Stabilität der Atmosphäre werden dabei nicht berücksichtigt. Die Ermittlung berücksichtigt keinen Einfluss der Topografie, der bei den hier untersuchten Nabenhöhen vernachlässigt werden kann, solange sich keine schroffen Geländekanten oder Steilhänge in unmittelbarer Umgebung der betrachteten WEA befinden. Der über alle Windrichtungen energiegewichtete Standortmittelwert des Höhenexponenten α_{NH} ist für alle zu betrachtenden Anlagen in einem Bereich von der unteren Blattspitze bis zur oberen Blattspitze zu ermitteln.

Die folgende Tabelle 3.13 stellt die Ergebnisse der Standortmittelwerte des Höhenexponenten α_{NH} dar.

Tabelle 3.13 Standortmittelwert des Höhenexponenten α_{NH} der neu geplanten WEA

| Interne W-Nr. | α_{NH} [-] |
|---------------|-------------------|
| W1 | 0.13 |
| W29 | 0.13 |

3.6 Luftdichte ρ

Da es sich bei keinem Anlagenstandort einer nach DIBt 2012 typengeprüften neu geplanten Anlage um einen nach DIN EN IEC 61400-1:2019 [6] topografisch komplexen Standort handelt, sind die Nachweise nach Abschnitt 1.2.2 nicht zu führen. Die Ausweisung der Werte erfolgt rein informativ und ein Vergleich mit den Auslegungswindbedingungen erfolgt im vorliegenden Gutachten nicht. Die Werte können jedoch einer eventuell erforderlichen Lastrechnung durch den Anlagenhersteller zu Grunde gelegt werden.

Die Berechnung der mittleren Luftdichte ρ_{NH} auf Nabenhöhe der jeweiligen WEA erfolgt entsprechend der Norm DIN ISO 2553 [17]. Als Datengrundlage dient die mittlere Temperatur in 2 m über Grund, die in einem 1 km Raster über den Zeitraum von 1981 – 2010 vorliegt [18] und entsprechend [17] auf die zu untersuchende Nabenhöhe umgerechnet wird.

Die folgende Tabelle 3.14 stellt die Ergebnisse des Standortmittelwertes der Luftdichte ρ_{NH} für jede zu untersuchende WEA dar.

Tabelle 3.14: Standortmittelwert der Luftdichte ρ_{NH} der neu geplanten WEA

| Interne W-Nr. | ρ_{NH} [kg/m ³] |
|---------------|----------------------------------|
| W1 | 1.214 |
| W29 | 1.214 |

3.7 Extreme Turbulenzintensität I_{ext}

Da es sich bei keinem Anlagenstandort einer nach DIBt 2012 typengeprüften neu geplanten Anlage um einen nach DIN EN IEC 61400-1:2019 [6] topografisch komplexen Standort handelt, sind die Nachweise nach Abschnitt 1.2.2 nicht zu führen. Die Ausweisung der Werte erfolgt rein informativ und ein Vergleich mit den Auslegungswindbedingungen erfolgt im vorliegenden Gutachten nicht. Die Werte können jedoch einer eventuell erforderlichen Lastrechnung durch den Anlagenhersteller zu Grunde gelegt werden.

Die Ermittlung der Extremturbulenzintensität erfolgt durch die Betrachtung aller auftretenden Nachlaufsituationen und stellt das Ergebnis mit dem höchsten Wert, im Zentrum aller betrachteten Nachlaufsituationen dar. Wenn keine Nachlaufsituationen zu berücksichtigen sind, wird der Wert der höchsten repräsentativen Turbulenzintensität ausgewiesen. Entsprechend [6] berücksichtigen alle ausgewiesenen Werte den jeweiligen anzusetzenden Turbulenzstrukturparameter C_{CT} .

Die folgende Tabelle 3.15 stellt die ermittelten extremen Turbulenzintensitäten $I_{ext, NH}$ in Abhängigkeit der Windgeschwindigkeit und unter Berücksichtigung der in Abschnitt 3.3.3.2 ausgewiesenen sektoriellen Betriebsbeschränkungen dar.

Tabelle 3.15: Ermittelte extreme Turbulenzintensitäten $I_{ext, NH}$

| V_{hub} | W1 | W29 |
|-----------|-------|-------|
| 3 | 0.463 | 0.319 |
| 4 | 0.400 | 0.268 |
| 5 | 0.366 | 0.238 |
| 6 | 0.341 | 0.218 |
| 7 | 0.321 | 0.203 |
| 8 | 0.303 | 0.191 |
| 9 | 0.293 | 0.183 |
| 10 | 0.283 | 0.175 |
| 11 | 0.275 | 0.170 |
| 12 | 0.227 | 0.145 |
| 13 | 0.191 | 0.136 |
| 14 | 0.172 | 0.130 |
| 15 | 0.160 | 0.125 |
| 16 | 0.150 | 0.121 |
| 17 | 0.141 | 0.118 |
| 18 | 0.135 | 0.115 |
| 19 | 0.130 | 0.112 |
| 20 | 0.125 | 0.110 |
| 21 | 0.122 | 0.108 |
| 22 | 0.118 | 0.107 |
| 23 | 0.115 | 0.106 |
| 24 | 0.114 | 0.104 |

4 Zusammenfassung

4.1 Neu geplante WEA

Es wurden die Standortbedingungen nach Abschnitt 1.2.1 für die neu geplanten WEA ermittelt und mit den Auslegungswerten verglichen. Bei der Berechnung der effektiven Turbulenzintensität I_{eff} wurden die in Abschnitt 3.3.3.2 ausgewiesenen sektoriellen Betriebsbeschränkungen berücksichtigt. Dieser Vergleich hat gezeigt, dass

- i. W1 und W29 keine Überschreitung der Wahrscheinlichkeitsdichtefunktion der standortspezifischen Windgeschwindigkeiten pdf_{NH} im Vergleich zur Wahrscheinlichkeitsdichtefunktion der Typenprüfung pdf_{TP} aufweisen (siehe Abschnitt 3.2.1),
- ii. W1 und W29 an einem Standort errichtet werden sollen, der den Auslegungswert der 50-Jahreswindgeschwindigkeit $v_{\text{m}50, \text{TP}}$ nicht überschreitet (siehe Abschnitt 3.2.2) und
- iii. W1 und W29 keine Überschreitungen der effektiven Turbulenzintensität I_{eff} gegenüber den Auslegungswerten aufweisen (siehe Abschnitt 3.3.3.3).

Die Standorteignung gemäß DIBt 2012 [1.1] ist für die WEA W1 und W29 durch das vorliegende Gutachten nachgewiesen.

Tabelle 4.1: Zusammenfassung der Ergebnisse geplante WEA

| Interne W-Nr. | Hersteller | Anlagentyp | NH [m] | FEH [m] | Standorteignung gemäß DIBt 2012 nachgewiesen |
|---------------|------------|-------------|--------|---------|--|
| W1 | Vestas | V162-6.0 MW | 169.0 | 0.0 | Ja |
| W29 | Vestas | V162-6.0 MW | 169.0 | 0.0 | Ja |

4.2 Bestehende WEA

Für die Bestands-WEA W3, W4, W6 – W9, W12 – W20, W24 – W26, W30 – W34 und W36 – W41 konnte die nach DIBt 2012 [1.1] nachzuweisende Standorteignung hinsichtlich der effektiven Turbulenzintensität unter Berücksichtigung der in Abschnitt 3.3.3.2 ausgewiesenen sektoriellen Betriebsbeschränkungen durch den Vergleich mit den Auslegungswerten nachgewiesen werden.

Die Bestands-WEA W27 und W28 weisen Überschreitungen der effektiven Turbulenzintensität nach der Richtlinie DIBt 2012 [1.1] auf. Durch einen Vergleich der Situation vor, mit der Situation nach dem geplanten Zubau konnte gezeigt werden, dass der geplante Zubau keinen signifikanten Einfluss auf die Standorteignung hinsichtlich der effektiven Turbulenzintensitäten der WEA W27 und W28 hat. Bei diesem Vergleich wurde die Erhöhung der effektiven Turbulenzintensität durch den Zubau und ggf. deren Einfluss auf die PEL nach [20] untersucht. Somit ist die Standorteignung hinsichtlich der effektiven Turbulenzintensität für diese WEA unter Maßgabe einer in deren Genehmigungsverfahren nachgewiesenen Standorteignung weiterhin nachgewiesen.

Tabelle 4.2: Zusammenfassung der Ergebnisse Bestands-WEA

| Interne W-Nr. | Hersteller | Anlagentyp | NH [m] | FEH [m] | Standorteignung gemäß DIBt 2012 nachgewiesen |
|---------------|------------|--------------------|--------|---------|--|
| W3 | Wind World | W5200/750 | 73.9 | 0.0 | Ja |
| W4 | Wind World | W5200/750 | 73.9 | 0.0 | Ja |
| W6 | Wind World | W5200/750 | 73.9 | 0.0 | Ja |
| W7 | NEG Micon | NM60-1000 | 69.9 | 0.0 | Ja |
| W8 | NEG Micon | NM60-1000 | 69.9 | 0.0 | Ja |
| W9 | NEG Micon | NM60-1000 | 69.9 | 0.0 | Ja |
| W12 | ENERCON | E-82 / 2.000 kW | 138.4 | 0.0 | Ja |
| W13 | ENERCON | E-82 / 2.000 kW | 138.4 | 0.0 | Ja |
| W14 | ENERCON | E-82 / 2.000 kW | 138.4 | 0.0 | Ja |
| W15 | ENERCON | E-82 / 2.000 kW | 138.4 | 0.0 | Ja |
| W16 | ENERCON | E-82 / 2.000 kW | 138.4 | 0.0 | Ja |
| W17 | ENERCON | E-82 / 2.000 kW | 138.4 | 0.0 | Ja |
| W18 | ENERCON | E-82 / 2.000 kW | 138.4 | 0.0 | Ja |
| W19 | ENERCON | E-82 / 2.000 kW | 138.4 | 0.0 | Ja |
| W20 | ENERCON | E-82 / 2.000 kW | 138.4 | 0.0 | Ja |
| W24 | ENERCON | E-82 / 2.000 kW | 138.4 | 0.0 | Ja |
| W25 | ENERCON | E-82 / 2.000 kW | 138.4 | 0.0 | Ja |
| W26 | ENERCON | E-82 / 2.000 kW | 138.4 | 0.0 | Ja |
| W27 | Vestas | V112-3.3 MW | 140.0 | 3.7 | Ja |
| W28 | Vestas | V112-3.3 MW | 140.0 | 3.7 | Ja |
| W30 | ENERCON | E-82 E2 / 2.300 kW | 138.4 | 0.0 | Ja |
| W31 | ENERCON | E-82 E2 / 2.300 kW | 138.4 | 0.0 | Ja |
| W32 | ENERCON | E-82 E2 / 2.300 kW | 138.4 | 0.0 | Ja, siehe Abschnitt 3.3.3.2 |
| W33 | ENERCON | E-82 E2 / 2.300 kW | 138.4 | 0.0 | Ja |
| W34 | ENERCON | E-82 E2 / 2.300 kW | 138.4 | 0.0 | Ja |
| W36 | ENERCON | E-82 E2 / 2.300 kW | 138.4 | 0.0 | Ja |
| W37 | ENERCON | E-82 E2 / 2.300 kW | 138.4 | 0.0 | Ja |
| W38 | ENERCON | E-82 E2 / 2.300 kW | 138.4 | 0.0 | Ja |
| W39 | ENERCON | E-82 E2 / 2.300 kW | 138.4 | 0.0 | Ja |
| W40 | ENERCON | E-82 E2 / 2.300 kW | 138.4 | 0.0 | Ja |
| W41 | ENERCON | E-82 E2 / 2.300 kW | 138.4 | 0.0 | Ja |

5 Standortbesichtigung

Entsprechend der Forderung in der Richtlinie DIBt Fassung Oktober 2012 [1.1] nach einer Standortbesichtigung wurde diese am 27.03.2020 und 03.04.2020 durch den Auftraggeber durchgeführt [23].

Die Standortbesichtigung dient zur Ermittlung, bzw. zum Abgleich von Geländebeschaffenheit mit vorhandenen Satellitendaten zur Rauigkeit [13] und ggf. zu den Höhenlinien [14]. Mögliche turbulenzrelevante Einzelstrukturen wurden untersucht und dokumentiert. Die Standortdokumentation bestätigt die zu Grunde gelegten Rauigkeiten und die Ergebnisse zur Komplexität.

Abkürzungs- und Symbolverzeichnis

| Abkürzung | Bedeutung |
|-----------|--|
| BImSchG | Bundes-Immissionsschutzgesetz |
| DIBt | Deutsches Institut für Bautechnik |
| DIN | Deutsches Institut für Normung |
| EN | Europäische Norm |
| ETM | Extremes Turbulenzmodell |
| ETRS89 | Europäisches Terrestrisches Referenzsystem von 1989 |
| GK | Gauß-Krüger, Geländekategorie |
| H | Komplexitätskategorie Stark |
| IEC | International Electrotechnical Commission |
| L | Komplexitätskategorie Gering |
| M | Komplexitätskategorie Mittel |
| NA | Nationaler Anhang |
| NTM | Normales Turbulenzmodell |
| PEL | Pseudo-Äquivalente-Last |
| pdf | Wahrscheinlichkeitsdichtefunktion |
| TK | Turbulenzkategorie, Auslegungsturbulenz |
| TP | Typenprüfung |
| UTM | Universal Transverse Mercator Projection |
| WEA | Windenergieanlage(n) |
| WGS84 | World Geodetic System (letzte Revision in 2004) |
| WSM | Wind Sector Management, Sektorielle Betriebsbeschränkung |
| WZ | Windzone |

| Symbol | Bedeutung | Einheit |
|------------|---|---------|
| A | Skalenparameter der Weibullverteilung | [m/s] |
| C_{CT} | Turbulenzstrukturparameter | [-] |
| C_t | Schubbeiwert | [-] |
| D | Rotordurchmesser | [m] |
| FEH | Fundamenterhöhung | [m] |
| I_{amb} | Umgebungsturbulenzintensität | [-] |
| i_c | Komplexitätsindex | [-] |
| I_{char} | Charakteristische Turbulenzintensität | [-] |
| I_{ext} | Extreme Turbulenzintensität | [-] |
| I_{eff} | Effektive Turbulenzintensität auf Nabenhöhe | [-] |
| I_{rep} | Repräsentative Turbulenzintensität | [-] |
| k | Formparameter der Weibullverteilung | [-] |
| λ | Schnelllaufzahl | [-] |
| m | Wöhlerlinienkoeffizient | [-] |
| NH | Nabenhöhe | [m] |
| p | Sektorielle Häufigkeit | [%] |
| P_N | Nennleistung | [kW] |
| s | Dimensionsloser Abstand zwischen WEA, bezogen auf den jeweils größeren Rotordurchmesser | [-] |
| τ | Lebensdauer | [a] |
| TSI | Index der Geländeneigung | [°] |

| Symbol | Bedeutung | Einheit |
|-----------------|---|----------------------|
| TVI | Index der Geländeabweichung | [%] |
| v_{ave} | Jahresmittel der Windgeschwindigkeit auf Nabenhöhe | [m/s] |
| v_{hub} | Windgeschwindigkeit auf Nabenhöhe | [m/s] |
| v_{in} | Einschaltwindgeschwindigkeit der WEA | [m/s] |
| v_{m50} | 10-Minuten Mittelwert der 50-Jahres-Windgeschwindigkeit auf Nabenhöhe | [m/s] |
| v_{out} | Abschaltwindgeschwindigkeit der WEA | [m/s] |
| v_r | Nennwindgeschwindigkeit der WEA | [m/s] |
| v_{ref} | Auslegungswert des 10-Minuten Mittelwerts der 50-Jahres-Windgeschwindigkeit | [m/s] |
| X | Rechtswert | [m] |
| Y | Hochwert | [m] |
| z_0 | Rauigkeitslänge | [m] |
| z_{hub} | Nabenhöhe der betrachteten WEA | [m] |
| α | Höhenexponent | [-] |
| δ | Schräganströmung | [°] |
| ρ | Luftdichte | [kg/m ³] |
| σ | Standardabweichung der Windgeschwindigkeit | [m/s] |
| σ_σ | Standardabweichung der Turbulenzintensität | [-] |

Literaturverzeichnis

- [1.1] *Deutsches Institut für Bautechnik – DIBt -, Berlin; Referat I 8 Bautechnisches Prüfamt Grundlagen der Standsicherheit; Richtlinie für Windenergieanlagen – Einwirkungen und Standsicherheitsnachweise für Turm und Gründung; Fassung Oktober 2012 und korrigierte Fassung März 2015;*
- [1.2] *DKE Deutsche Kommission Elektrotechnik Elektronik Informationstechnik; DKE/AK 383.0.01/Untergruppe DIBt2012 an die PG „Windenergieanlagen“ des DIBt; Anwendung der DIBt 2012 zur Prüfung der Standorteignung, 30.01.2015;*
- [2] *Deutsches Institut für Bautechnik – DIBt -, Berlin; Richtlinie für Windenergieanlagen – Einwirkungen und Standsicherheitsnachweise für Turm und Gründung; Fassung März 2004; Schriften des Deutschen Instituts für Bautechnik Reihe B, Heft 8;*
- [3] *Deutsches Institut für Bautechnik – DIBt -, Berlin; Richtlinie für Windkraftanlagen – Einwirkungen und Standsicherheitsnachweise für Turm und Gründung; Fassung Juni 1993; 2. Überarbeitete Auflage 1995; Schriften des Deutschen Instituts für Bautechnik Reihe B, Heft 8;*
- [4] *International Electrotechnical Commission (IEC); IEC 61400-1 Edition 2.0 International Standard Wind turbine generator systems – Part 1: Safety requirements;*
- [5] *International Electrotechnical Commission (IEC); IEC 61400-1 Edition 3.0 International Standard Wind turbines – Part 1: Design requirement; Mit Implementierung von 61400-1/A1, Amendment 1, 2009;*
- [6] *Deutsches Institut für Normung e.V.; DIN EN IEC 61400-1:2019; Windenergieanlagen – Teil 1: Auslegungsanforderungen (IEC61400-1:2019; Deutsche Fassung EN IEC 61400-1:2019; Dezember 2019;*
- [7] *Deutsches Institut für Normung e.V.; DIN EN 61400-1:2011-08 Windenergieanlagen – Teil 1: Auslegungsanforderungen (IEC 61400-1:2005 + A1:2012); Deutsche Fassung EN 61400-1:2005 + A1:2010;*
- [8] *Deutsches Institut für Normung e.V.; DIN EN 61400-1:2004 Windenergieanlagen – Teil 1: Sicherheitsanforderungen (IEC 61400-1:1999); Deutsche Fassung EN 61400-1:2004;*
- [9] *Deutsches Institut für Normung e.V.; DIN EN 1991-1-4/NA:2010-12 mit DIN EN 1991-1-4:2010-12; Nationaler Anhang – Eurocode 1: Einwirkungen auf Tragwerke – Teil 1-4: Allgemeine Einwirkungen: Windlasten;*
- [10] *ECN Solar & Wind Energy, J.W.M. Dekker und J.T.G. Pierik [Hrsg.]: European Wind Turbine Standards II, Petten, (NLD), 1998;*
- [11] *Deutsches Institut für Bautechnik; Windzonen nach Verwaltungsgrenzen; Windzonen_nach_Verwaltungsgrenzen.xlsx; Stand 11.08.2020;*
- [12] *European Wind Atlas, Risø National Laboratory, Roskilde (DK), 1989 Troen, Ib; Petersen, Erik L.;*
- [13] *European Environment Agency; Corine Land Cover (CLC) 2012, Version 18.5.1; Veröffentlicht am 19.09.2016;*
- [14] *U.S. Geological Survey Earth Resources Observation & Science Center (EROS); SRTM 1 Arc-Sec Global; Download am 02.12.2016;*
- [15] *Risø DTU National Laboratory for Sustainable Energy, Windfarm Assessment Tool Version 3.3.0.128;*

- [16] *Frandsen, Sten T. (2007): Turbulence and turbulence-generated structural loading in wind turbine clusters. Roskilde (DK);*
- [17] *Deutsches Institut für Normung e.V.; DIN ISO 2533; Normatmosphäre; Dezember 1979;*
- [18] *Deutscher Wetterdienst; DWD Climate Data Center (CDC), Vieljährige mittlere Raster der Lufttemperatur (2m) für Deutschland 1981-2010, Version v1.0.;*
- [19.1] *OpenStreetMap und Mitwirkende; SRTM | Kartendarstellung: OpenTopoMap (CC-BY-SA); Siehe auch: <https://creativecommons.org>;*
- [19.2] *Microsoft Corporation; © 2019 Digital Globe © CNES (2019) Distribution Airbus DS; Siehe auch: <https://www.microsoft.com/en-us/maps/product>;*
- [20] *Rodenhausen M., Moser W., Hülsmann C., Bergemann C., Könker M., McKenna R.; Prüfung der Standorteignung für Windenergieanlagen: Ein pragmatischer Ansatz; Ernst & Sohn Verlag für Architektur und technische Wissenschaften GmbH & Co. KG, Berlin. Bautechnik 93 (2016) Heft 10;*
- [21] *mdp GmbH; E-Mail mit dem Betreff: "Re: WP Borne-Mitte | Standorteignung vorab" vom 04.03.2021; Datei: Borne-Mitte_N21 (Datentabelle 2021-03-02).xlsx und E-Mail mit dem Betreff: „Re: Standorteignung Borne Mitte“ vom 11.05.2021 und E-Mail mit dem Betreff: "Re: Standorteignung Borne Mitte" vom 07.12.2021;*
- [22.1] *UL International GmbH; WINDPOTENZIAL- UND ENERGIEERTRAGSERMITTLUNG; Ref. Nr. UL-GER-WP20-13149720-01.02; 04.02.2020;*
- [22.2] *anemos Gesellschaft für Umweltmeteorologie mbH; Nachberechnung Extremwindabschätzung auf Basis des anemos Windatlas für Deutschland am Standort Borne Mitte; Berichts-Nr.: 20-052-7021194-Rev.01-EX-PP; 22.12.2021;*
- [23] *mdp GmbH & Co. WP Borne KG; Standortdokumentation Standorteignung, Standort Borne; Bericht Nr.: I17-SV-2020-074; 14.04.2020;*
- [24.1] *Vestas Wind Systems A/S; Performance Specification EnVentus™ V162-6.0 MW 50/60 Hz; Document no.: 0098-0840 V03; 07.12.2020;*
- [24.2] *Vestas Wind Systems A/S; Gutachterinformation Auslegungswerte Turbulenz V162-5.6 MW 50/60 Hz 20 Jahre; Documentnr.: 0076-1172 V00; 24.10.2018;*